



ผลการวิจัย

1. การสร้างและ การรีเจนเนอเรท โปรตอฟลาสต์ของ *Streptomyces* sp. 190-1

ดังที่กล่าวมาแล้วในบทนำว่า การนำ DNA เข้าสู่ *Streptomyces* จะต้องอยู่ในรูปของ โปรตอฟลาสต์ ดังนั้นขั้นตอนแรกที่จะต้องศึกษาคือ การหาสภาวะที่เหมาะสมในการเกิดและ การรีเจนเนอเรท ของ โปรตอฟลาสต์

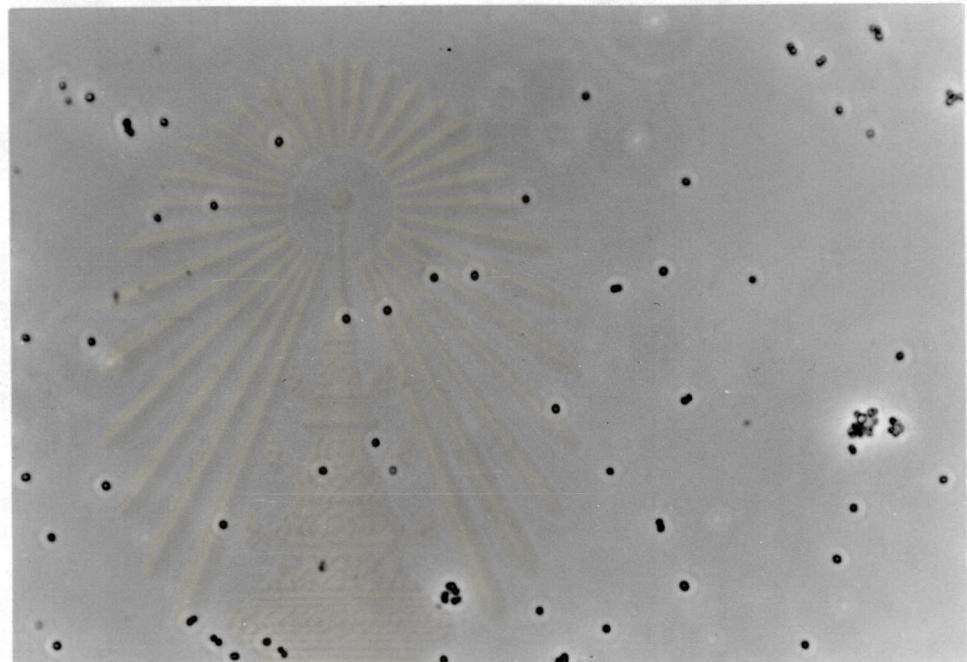
Streptomyces sp. 190-1 เป็นสายพันธุ์แยกตัวจากแหล่งเดิมในประเทศไทย (48) และยังไม่มีผู้ศึกษาสภาวะที่เหมาะสมในการสร้างและ การรีเจนเนอเรท ของ โปรตอฟลาสต์ของเชื้อนี้มาก่อน ดังนั้นการทดลองนี้จึงมุ่งหาสภาวะที่เหมาะสมตั้งแต่ล่าง

1.1 ผลของอายุเชื้อ

ผลการเตรียม โปรตอฟลาสต์ของ *Streptomyces* sp. 190-1 ตามบทที่ 2 ข้อ 5.1 พบว่ามีลักษณะดังแสดงในรูปที่ 3 และเมื่อนำมาทำการตรวจสอบประสิทธิภาพของวิธีการที่ได้นี้ ยืนยันว่ามีชีวนิรภัยของไนซ์เลิยมปั่นมาเพียงเล็กน้อย โดยการเจือจาง โปรตอฟลาสต์ที่เตรียมได้ด้วยบันฟเฟอร์ P และสารละลายน้ำ 0.01% SDS และให้เจริญบนอาหารชีว R2YE ดังแสดงในรูปที่ 4

จากที่กล่าวมาในบทนำข้างต้นว่า การสร้างและ การรีเจนเนอเรท โปรตอฟลาสต์ ของ *streptomycetes* แปรผันตามอายุและสภาวะทางสรีรวิทยา (physiological state) ของเชื้อ ดังนั้นการทดลองนี้จึงศึกษาความล้มเหลวระหว่าง อายุของเชื้อกับ การสร้างและ การรีเจนเนอเรท ของ *Streptomyces* sp. 190-1 ผลการทดลองในตารางที่ 1 และรูปที่ 5 พบว่า โปรตอฟลาสต์จะเกิดได้ในช่วงอายุของ เชื้อระหว่าง 30-40 ชั่วโมง ซึ่งเป็นระยะ middle ถึง late-log phase โดยในระยะนี้จะได้ โปรตอฟลาสต์ที่ความเข้มข้น $1.2 - 4.8 \times 10^8$ โปรตอฟลาสต์/มล. หรือประมาณ $0.4 - 1.3 \times 10^{11}$ โปรตอฟลาสต์/กรัมน้ำหนักเซลล์แห้ง สำหรับ

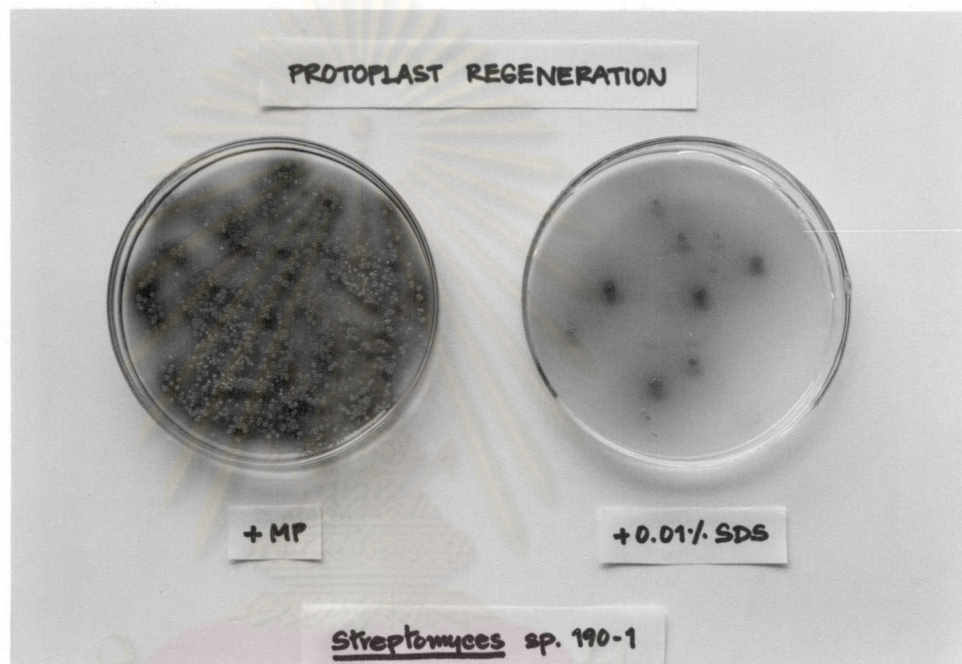
รูปที่ ๓ ลักษณะโปรตอฟลาสต์ของ *Streptomyces* sp. 190-1 ภายใต้กล้องจุลทรรศน์
phase contrast กำลังขยาย 400 เท่า



ศูนย์วิทยศาสตร์แพทย์
จุฬาลงกรณ์มหาวิทยาลัย



รูปที่ 4 ผลของการรีเจนเนอเรชันprotoplast บนอาหารเลี้ยงเชื้อ R2YE โดย混悬物อยู่ในบัฟเฟอร์ P (MP) เปรียบเทียบกับ混悬物อยู่ใน 0.01% SDS โดยเจือจาง 10^4 เท่า



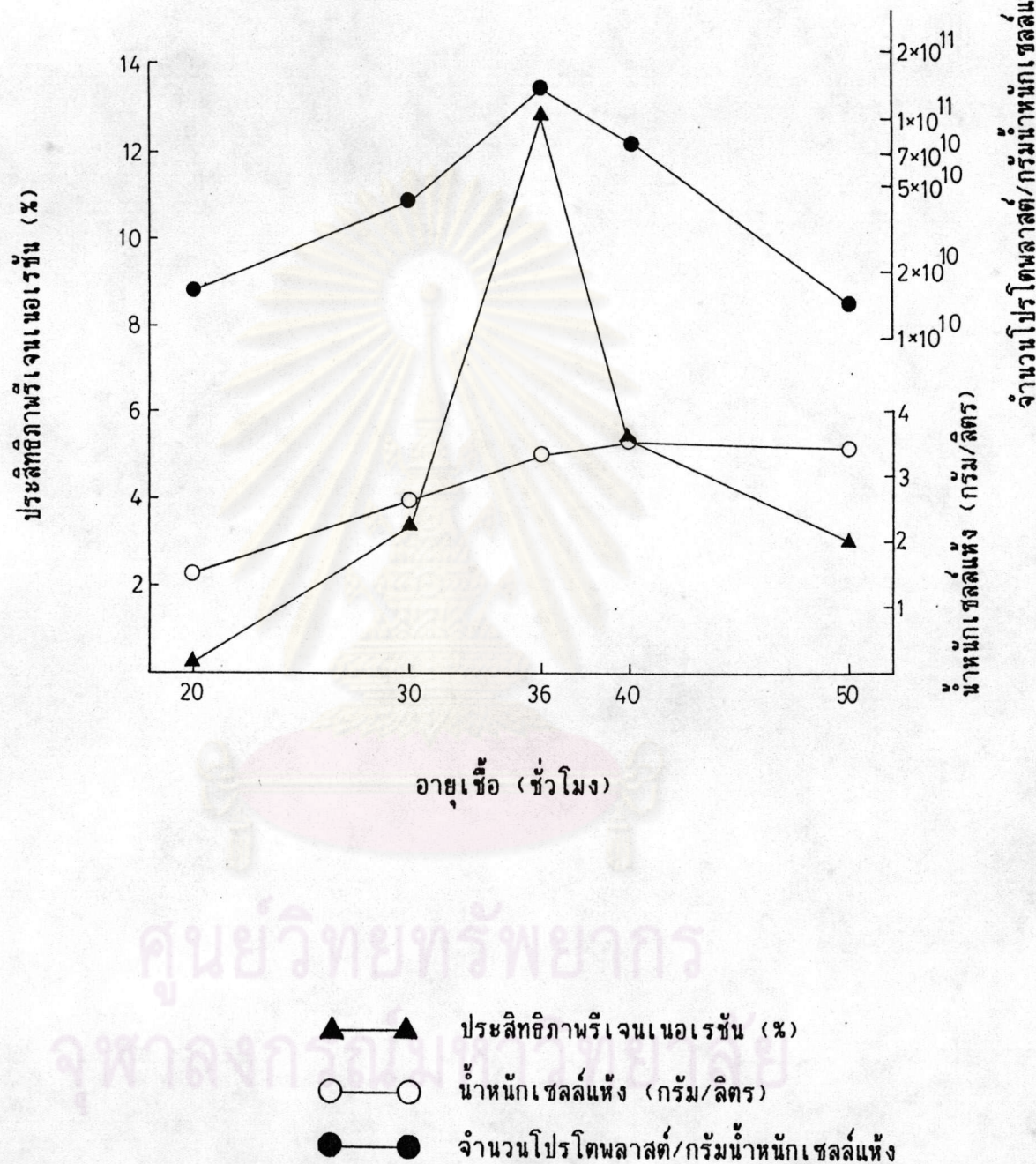
ศูนย์วิทยทรัพยากร
จุฬาลงกรณ์มหาวิทยาลัย

ตารางที่ 1 ผลของอายุเชื้อต่อการสร้างและ การรีเจนเนอเรก โปรต็อกลัสต์ของ
Streptomyces sp. 190-1

อายุเชื้อ ^a (ชั่วโมง)	โปรต็อกลัสต์/มล.	รีเจนเนอเรชันของ โปรต็อกลัสต์/มล.
20	2.80×10^7	6.10×10^8
30	1.20×10^8	3.95×10^8
36	4.80×10^8	6.13×10^7
40	2.80×10^8	1.47×10^7
50	5.00×10^7	1.48×10^7

ศูนย์วิทยาพรพยากรณ์
 จุฬาลงกรณ์มหาวิทยาลัย

รูปที่ 5 ผลของอายุเชื้อต่อการสร้างและ การรีเจนเนอเรชัน โปรติพลาสต์ของ
Streptomyces sp. 190-1



ผลการรีเจนเนอเรกโปรตอพลาสต์พบว่า โปรตอพลาสต์สามารถรีเจนเนอเรกได้ตั้งแต่ การเจริญของเชื้อออยู่ในระยะ middle-log phase ไปจนถึง stationary phase ซึ่งจำนวนโปรตอพลาสต์ที่รีเจนเนอเรกได้ออยู่ในช่วง $1.47-6.13 \times 10^7$ โดยทำการรีเจนเนอเรกสูงสุด 12.77 % ในช่วง late - log phase

1.2 ผลของไกลชีนในอาหารเลี้ยงเชื้อ

ได้มีผู้รายงานถึงการเติมไกลชีนในอาหารเลี้ยงเชื้อ streptomycetes ว่า มีผลทำให้การเกิดโปรตอพลาสต์ง่ายขึ้น ทั้งนี้เนื่องมาจากไกลชีนทำให้เกิดความผิดปกติในการสร้างผนังเซลล์ดังได้กล่าวมาแล้วในบทนำ จึงทำให้ผนังเซลล์ถูกทำลายโดยไสโซ่เมื่อได้รับไกลชีน (33)

การทดลองนี้จึงได้ศึกษาผลของไกลชีน ต่อการเกิดโปรตอพลาสต์ของ *Streptomyces sp. 190-1* โดยแปรผันความเข้มข้นของไกลชีนในอาหารเลี้ยงเชื้อ ตั้งแต่ 0 - 0.5 % (น้ำหนัก/ปริมาตร) ผลการทดลองดังแสดงในตารางที่ 2 แหล่งที่ 6 พบว่าการเติมหรือไม่เติมไกลชีนในอาหารเลี้ยงเชื้อไม่มีผลเด่นชัดต่อการเกิดโปรตอพลาสต์ของ *Streptomyces' sp. 190-1* โดยโปรตอพลาสต์ที่เตรียมได้จากไมซ์เลิยมที่เลี้ยงในอาหารเลี้ยงเชื้อที่มีหรือไม่มีไกลชีนที่ความเข้มข้นต่างๆ จะมีความเข้มข้นอยู่ในช่วง 10^8 โปรตอพลาสต์/ml. หรือ 10^{11} โปรตอพลาสต์/กรัมน้ำหนักเซลล์แห้ง นอกจากนั้น ยังพบว่าการเติมไกลชีนจะมีผลในการขับยุงการเจริญของไมซ์เลิยม

ดังนั้นในการสร้างโปรตอพลาสต์ของ *Streptomyces sp. 190-1* เพื่อ ทำการทดลองในขั้นต่อไปจะใช้เชื้อที่อายุ 36 ชั่วโมงในอาหารเลี้ยงเชื้อที่ไม่เติมไกลชีน

2. ประสิทธิภาพในการกรานฟอร์ม *Streptomyces sp. 190-1* ด้วยพลาสมิคพาหะ

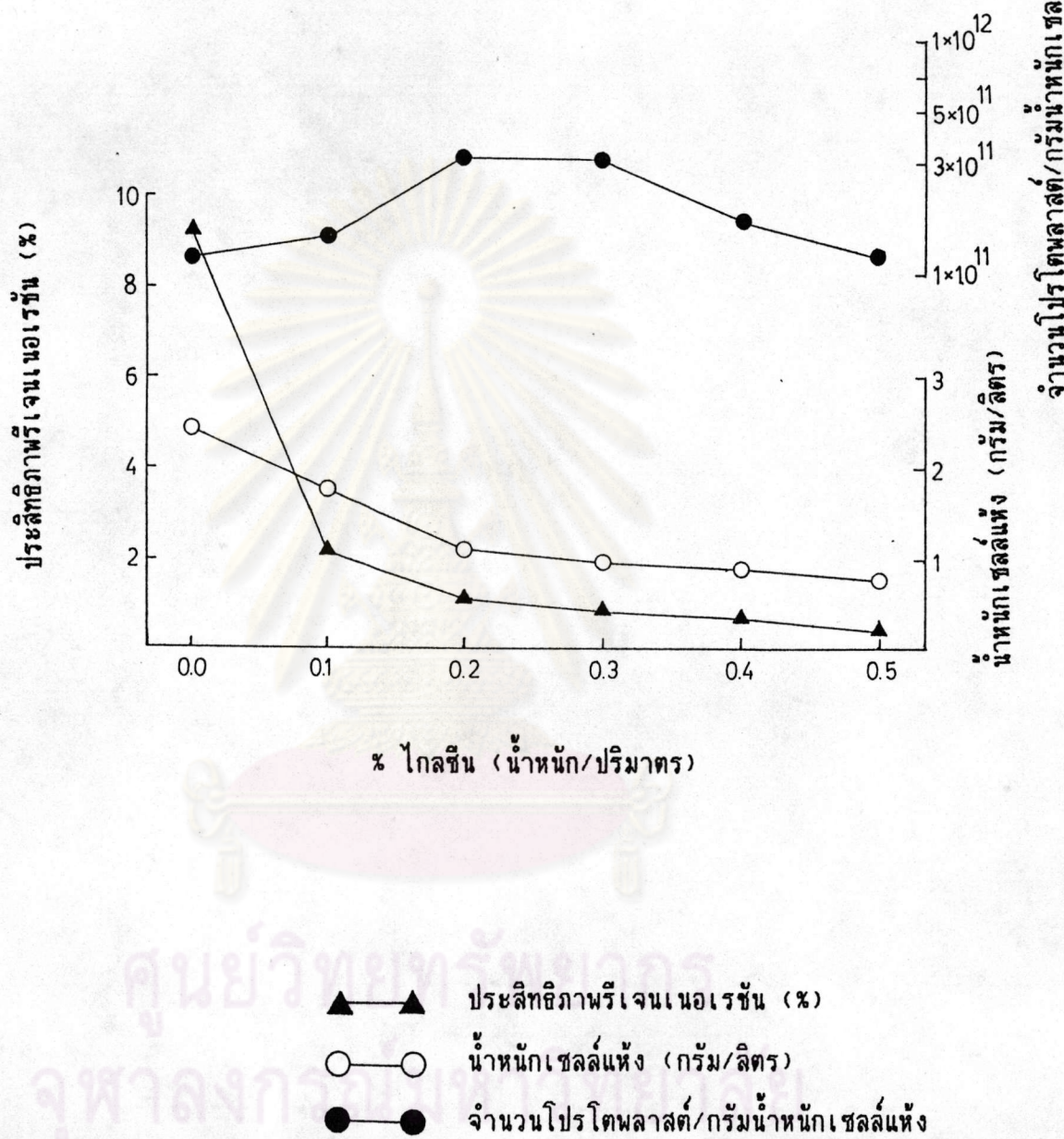
2.1 ประสิทธิภาพในการกรานฟอร์ม *Streptomyces sp. 190-1* และ *S. lividans* TK64 ด้วยพลาสมิค ภ.IJ702 และ ภ.IJ699

ได้ตรวจสอบประสิทธิภาพในการกรานฟอร์มพลาสมิค ภ.IJ702 และ ภ.IJ699 เข้าสู่ *Streptomyces sp. 190-1* และ *S. lividans* TK64 ภายใต้สภาวะที่ระบุไว้ในบทที่ 2 ข้อ 7.4 คือ ใช้ PEG 25% ทำปฏิกิริยาที่อุณหภูมิห้อง ผลการทดลอง

ตารางที่ 2 ผลของการเติมไกลชีนในอาหารเลี้ยงเชื้อต่อการสร้างและ การรีเจนเนอเรทโปรตอพลาสต์ของ *Streptomyces* sp. 190-1

%ไกลชีน (น้ำหนัก/ปริมาตร)	โปรตอพลาสต์/มล.	รีเจนเนอเรชันของ โปรตอพลาสต์/มล.
0.0	2.80×10^8	7.24×10^7
0.1	2.56×10^8	5.50×10^6
0.2	3.31×10^8	3.65×10^6
0.3	2.83×10^8	2.32×10^6
0.4	1.55×10^8	1.07×10^6
0.5	9.19×10^7	3.40×10^5

รูปที่ 6 ผลของการเติมไกลชีนในอาหารเลี้ยงเชื้อ ต่อการสร้างและกิจกรรมเนอเรท โปรตอพลาสต์ของ *Streptomyces sp.* 190-1



ได้แสดงไว้ในตารางที่ 3 นบว่าสายพันธุ์มาตรฐาน *S. lividans* TK64 ให้ประสิทธิภาพของการกรานสฟอร์มด้วยพลาสติกทึ้งสองชนิดสูงกว่า *Streptomyces* sp.190-1 คือให้ 9.52×10^5 ทรานสฟอร์เม้นท์/ไมโครกรัมของพลาสติก BIJ702 และ 5.84×10^5 ทรานสฟอร์เม้นท์/ไมโครกรัมของพลาสติก BIJ699 ขณะที่ *Streptomyces* sp.190-1 ให้ 4.19×10^2 ทรานสฟอร์เม้นท์/ไมโครกรัมของพลาสติก BIJ702 และ 1.29×10^2 ทรานสฟอร์เม้นท์/ไมโครกรัมของพลาสติก BIJ699

ดังนั้น ในการทดลองขั้นต่อไป จึงจะหาสภาวะที่เหมาะสมเพื่อเพิ่มประสิทธิภาพในการกรานสฟอร์มพลาสติกพาหะ ของ *Streptomyces* sp.190-1

2.2 ผลของโพลีเอซิลีนไกลโคอล (PEG) ต่อทรานสฟอร์เมชัน

PEG เป็นสารที่ใช้กรานสฟอร์มพลาสติกเข้าสู่โปรตอพลาสต์ของ *streptomyces* (39) จากรายงานบางฉบับพบว่า ความเข้มข้นของ PEG ที่ใช้ในการกรานสฟอร์ม จะแตกต่างกันไปข้างขึ้นกับแต่ละสายพันธุ์ (40) การทดลองนี้จึงศึกษาผลของ PEG ต่อการกรานสฟอร์มพลาสติก BIJ702 เข้าสู่ *Streptomyces* sp.190-1 ผลการทดลองในตารางที่ 4 พบว่าการกรานสฟอร์มด้วยพลาสติก BIJ702 จะเกิดได้ เมื่อความเข้มข้นของ PEG อยู่ในระหว่าง 20-40% (น้ำหนัก/ปริมาตร) แต่ก็ไม่แตกต่างจากผลการทดลองที่ได้ในตารางที่ 3 อย่างเด่นชัด โดยให้ประสิทธิภาพของ การกรานสฟอร์มอยู่ในช่วง $1.09-6.39 \times 10^2$ ทรานสฟอร์เม้นท์/ไมโครกรัมของตีเอนเอ อย่างไรก็ตาม ที่ความเข้มข้น 25% ซึ่งเป็นความเข้มข้นที่ใช้ในผลการทดลองตามตารางที่ 3 ก็ยังคงเป็นความเข้มข้นที่เหมาะสมที่สุด สำหรับการกรานสฟอร์เมชัน ของ *Streptomyces* sp.190-1

2.3 ผลของอุณหภูมิในการบ่มโปรตอพลาสต์ก่อนนำไปทำกรานสฟอร์เมชัน

Bailey และ Winstanley (43) รายงานว่า *Streptomyces clavuligerus* มีประสิทธิภาพในการกรานสฟอร์มพลาสติก BIJ702 ต่ำ ซึ่งคาดว่าอาจเนื่องมาจากการ restriction system ใน *Streptomyces* นี้ เข้าได้ทดลองบ่มโปรตอพลาสต์ที่อุณหภูมิต่าง ๆ ก่อนทำการกรานสฟอร์เมชัน พบว่าการบ่มโปรตอพลาสต์ที่

ตารางที่ 3 ประสิทธิภาพในการกรานสฟอร์มплаสมิดพาหะ pIJ702 และ pIJ699

เข้าสู่ *Streptomyces* sp.190-1 และ *S. lividans* TK64

สายพันธุ์	จำนวนกรานสฟอร์แมนท์/ ไมโครกรัมของพลาสมิด pIJ702	จำนวนกรานสฟอร์แมนท์/ ไมโครกรัมของพลาสมิด pIJ699
<i>S. lividans</i> TK64	9.52×10^5	5.84×10^5
<i>Streptomyces</i> sp.190-1	4.19×10^2	1.29×10^2

ศูนย์วิทยทรัพยากร
จุฬาลงกรณ์มหาวิทยาลัย

ตารางที่ 4 ผลของความเข้มข้นของ PEG ต่อประสิทธิภาพในการกรานฟอร์ม
พลาสติก pIJ702 เข้าสู่ปีร็อพลาสต์ของ *Streptomyces* sp. 190-1

%PEG (น้ำหนัก/ปริมาตร)	จำนวนกรานฟอร์มหนา/ ไมโครกรัมดีเอ็นเอ
20	2.72×10^2
25	6.39×10^2
30	1.53×10^3
40	1.09×10^3
50	0.75×10^2

ศูนย์วิทยาศาสตร์
จุฬาลงกรณ์มหาวิทยาลัย

45°C เป็นเวลา 10 นาที สามารถเพิ่มปรับสิทธิภาพในการกรานฟอร์มได้ 100 เท่า ดังนั้น การทดลองนี้จึงศึกษาผลของอุณหภูมิต่อการกรานฟอร์เมชัน โดยการบ่มโปรตอฟลาสต์ของ *Streptomyces* sp. 190-1 ที่อุณหภูมิต่าง ๆ ก่อนนำไปทำกรานฟอร์เมชัน ผลการทดลองแสดงในตารางที่ 5 พบว่าที่ 40°C จะเพิ่มปรับสิทธิภาพในการกรานฟอร์มจากสภาวะปกติประมาณ 5 เท่า

แม้ว่าจะได้ทำการศึกษาโดยแบร์จจัยและลักษณะที่เกี่ยวข้อง เพื่อเพิ่มปรับสิทธิภาพ *Streptomyces* sp. 190-1 ด้วยฟลาสมิคพาหะ ก็ยังพบว่า *Streptomyces* sp. 190-1 ให้ปรับสิทธิภาพในการกรานฟอร์มฟลาสมิคพาหะต่ำกว่า *S. lividans* TK64 ประมาณ 100 เท่าซึ่งไม่หมายความว่าจะใช้เป็นเซลเจ้าบ้านในการโคลนยืนที่ต้องการตามที่กล่าวมาแล้วในบทนำ ดังนั้น ในการโคลนยืนที่หมายล้มเข้าสู่ *Streptomyces* sp. 190-1 จะใช้ *S. lividans* TK64 เป็นเซลเจ้าบ้าน ในการโคลนยืนที่ต้องการก่อน และเมื่อได้ยืนที่ต้องการบนฟลาสมิคพาหะแล้ว จึงจะกรานฟอร์มรีคอมบินเนชันฟลาสมิคนี้เข้าสู่ *Streptomyces* sp. 190-1

3. การโคลนไซแอลเนลยืนจาก *Streptomyces* sp. 42-9 เข้าสู่ *S. lividans* TK64

3.1 การเตรียมชิ้นส่วนโครโนไซมอลดีเอ็นเอ ขนาด 3-8 กิโลเบล ของ *Streptomyces* sp. 42-9

จากรายงานการโคลนไซแอลเนลยืนใน *Streptomyces* Mondou และคณะ (6) ได้โคลนไซแอลเนลยืนจาก *S. lividans* 1326 เข้าสู่ *S. lividans* 10-164 ซึ่งเป็นสายพันธุ์ผู้เหล่าของ *S. lividans* 1326 ที่ขาดความสามารถในการสร้างไซแอลเนล เมื่อศึกษาโคลนต่างๆ ที่ได้โดยทำ Southern blotting พบว่าบนชิ้นส่วนของดีเอ็นเอที่มี coding sequence ของไซแอลเนลยืนมีขนาดประมาณ 2 กิโลเบล Iwasaki และคณะ (7) โคลนไซแอลเนลยืนจาก *Streptomyces* sp. No. 368 เข้าสู่ *S. kasugaensis* G3 และ *S. lividans* TK21 เมื่อทำการ Sub-cloning ของโคลนต่าง ๆ ที่ได้แล้ว พบว่าชิ้นส่วนดีเอ็นเอขนาดเล็กที่สุดที่ยังคงถูกตัดให้เข็นไซแอลเนล มีความยาว 1.04 กิโลเบล

ตารางที่ 5 ผลของอุณหภูมิในการบ่มป่าตอพลาสต์ของ *Streptomyces* sp. 190-1
ก่อนนำไปทำกรานสฟอร์เมชัน

อุณหภูมิ ($^{\circ}\text{C}$)	จำนวนกรานสฟอร์เมชัน/ ไมโครกรัมตีเอนเอว
อุณหภูมิห้อง	6.15×10^2
40	2.94×10^3
45	8.62×10^2
50	< 50

ศูนย์วิทยาศาสตร์
จุฬาลงกรณ์มหาวิทยาลัย

ดังนี้ ในการทดลองนี้ จึงจะเลือกชิ้นส่วนโครโนไซมอลดีเอ็นเอของ *Streptomyces* sp. 42-9 หลังจากตัดด้วยเรสทริกชันเอนไซม์ *Sba*n3A1 ขนาด 3-8 กิโลเบล ซึ่งคาดว่าจะครอบคลุมไซแอลเนลยินทั้งหมด และนำมาเชื่อมกับพลาสมิคพาหะ ซึ่งในการทดลองนี้จะใช้พลาสมิคพาหะสองชนิด คือ pIJ702 ขนาด 5.8 กิโลเบล และชิ้นส่วนขนาด 5.0 กิโลเบล ของพลาสมิคพาหะ pIJ699

ผลการย่อยโครโนไซมอลดีเอ็นเอของ *Streptomyces* sp. 42-9 แบบกึ่งสมบูรณ์ด้วย *Sba*n3A1 ตามวิธีที่กล่าวในบทที่ 2 ข้อ 7.1 ดังแสดงในรูปที่ 7 พบว่า ในช่องที่ 6 เป็นอัตราส่วนที่เหมาะสม ระหว่างความเข้มข้นของดีเอ็นเอและเอนไซม์ คือ ที่ความเข้มข้นของดีเอ็นเอ 0.972 ไมโครกรัม (ค่าน้ำหนักดีเอ็นเอเริ่มต้นเข้มข้น 1.62 ไมโครกรัม/ไมโครลิตร ซึ่งวัดด้วยวิธีอัลตราไวโอลูตแบบซอฟต์แวร์ชันลสเปกโตรสโคปี ตามที่กล่าวไว้ในบทที่ 2 ข้อ 6.3) ต่อเอนไซม์ 0.125 หน่วย โดยให้การย่อยที่ให้ชิ้นส่วนขนาด 3-8 กิโลเบล ได้สูงสุด

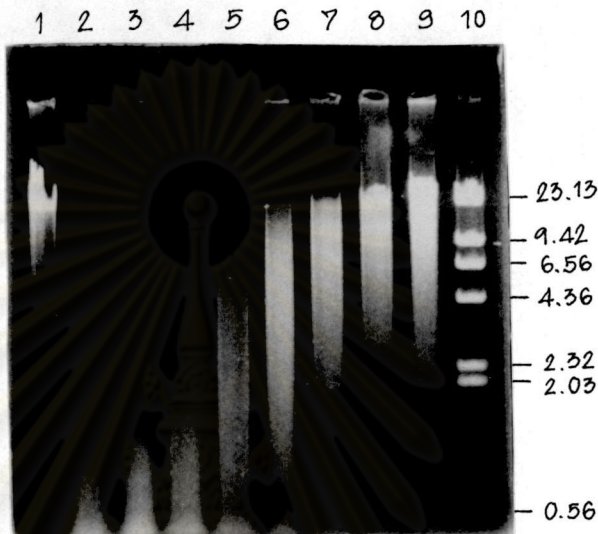
จากผลการทดลองดังกล่าวนี้ จะนำอัตราส่วนระหว่างเอนไซม์และดีเอ็นเอที่เหมาะสมนี้ไปขยายล่วงเพื่อเตรียมชิ้นส่วนขนาด 3-8 กิโลเบลปริมาณมากต่อไป

3.2 การตัดพลาสมิคพาหะ pIJ702 และ pIJ699

นำพลาสมิคพาหะ pIJ702 มาตัดด้วยเรสทริกชันเอนไซม์ BsgIII ตามรูปที่ 8 และตัดพลาสมิคพาหะ pIJ699 ด้วยเรสทริกชันเอนไซม์ BsgIII และ BamHI ตามรูปที่ 9 สำหรับ pIJ699 จะนำชิ้นส่วนขนาด 5 กิโลเบล มาใช้เป็นพาหะซึ่งแยกด้วยวิธีจับดีเอ็นเอด้วยแผ่น DEAE-cellulose ตามวิธีที่กล่าวไว้ในบทที่ 2 ข้อ 7.1.2 หลังจากตัดด้วยเอนไซม์แล้ว จึงกำจัดหมู่ฟอสเฟตที่ปลายด้วย Bacterial Alkaline Phosphatase (BAP) พบว่าพลาสมิคพาหะทั้งสองไม่สามารถเชื่อมตัวเองได้ (*self ligation*) เมื่อเชื่อมด้วยเอนไซม์ T₄DNA ligase ตามรูปที่ 10 ช่องที่ 3 และรูปที่ 11 ช่องที่ 3 โดยพลาสมิคยังคงอยู่ในรูปเดิม (linear form)

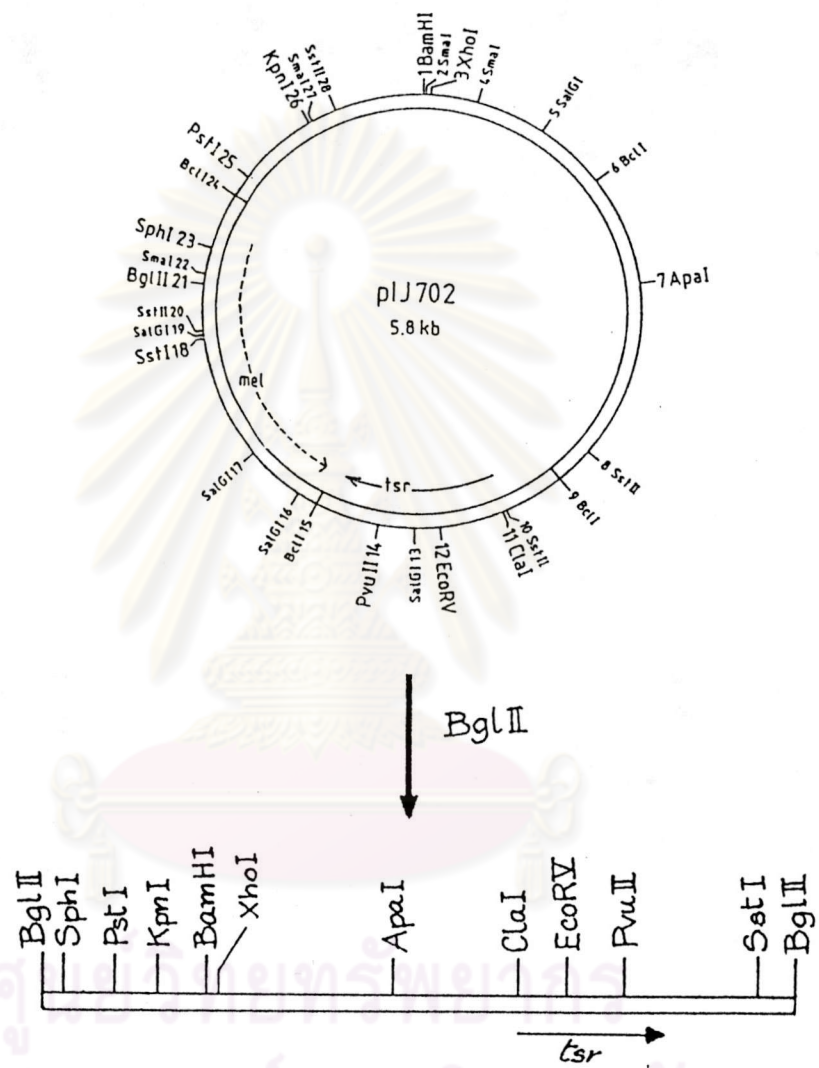


รูปที่ 7 ผลของการย่อยครามโนซิมอลดีเย็นของ *Streptomyces* sp. 42-9 ด้วย
เรสทริกชันเยนไซม์ SambA1 แบบกึ่งสมบูรณ์ (partial digestion)

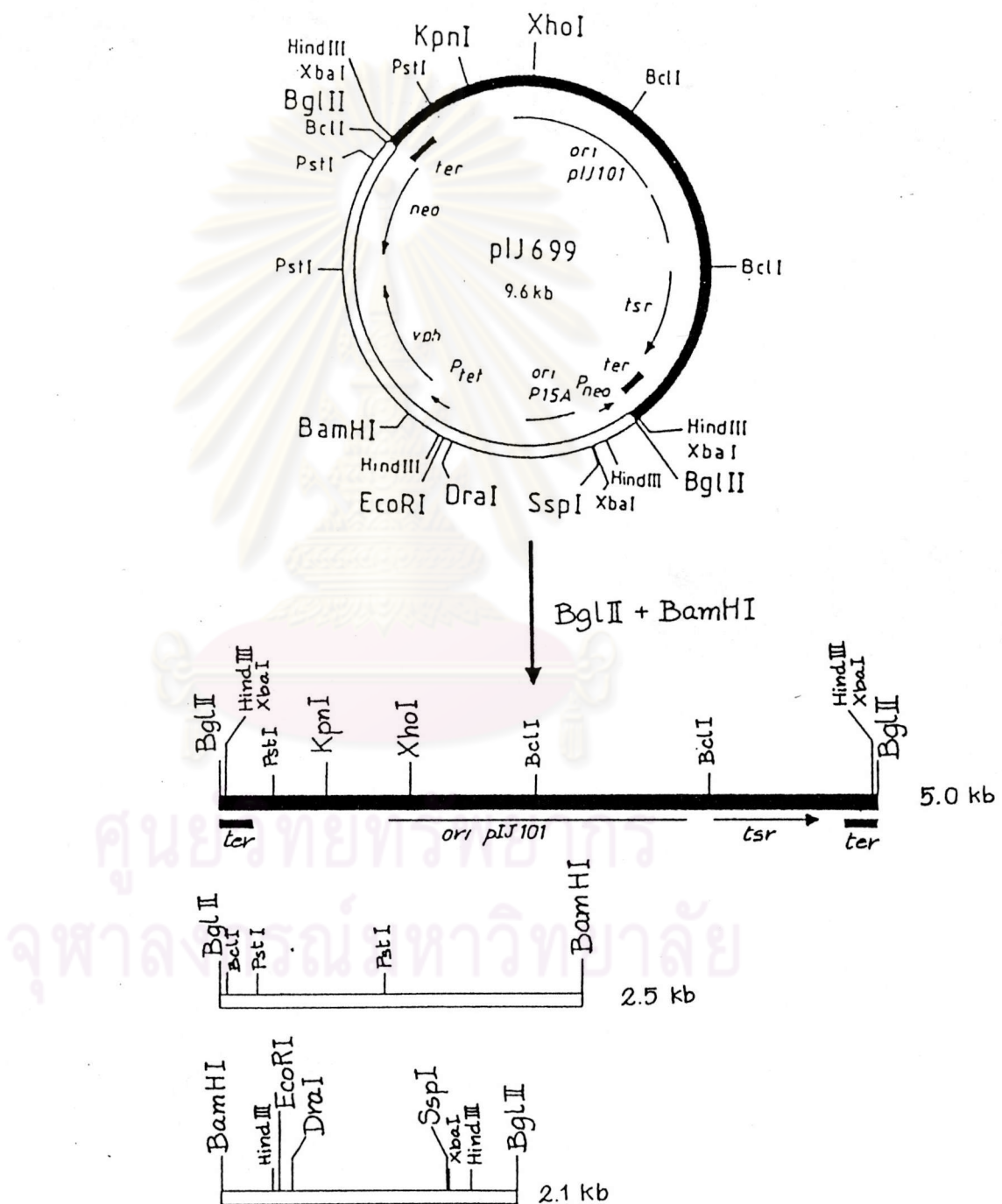


- ช่องที่ 1 โครโนซิมอลดีเย็นของ *Streptomyces* sp. 42-9
 2 โครโนซิมอลดีเย็นเอเข้มข้น 0.972 ไมโครกรัมต่อ SambA1 2 หน่วย
 3 โครโนซิมอลดีเย็นเอเข้มข้น 0.972 ไมโครกรัมต่อ SambA1 1 หน่วย
 4 โครโนซิมอลดีเย็นเอเข้มข้น 0.972 ไมโครกรัมต่อ SambA1 0.5 หน่วย
 5 โครโนซิมอลดีเย็นเอเข้มข้น 0.972 ไมโครกรัมต่อ SambA1 0.25 หน่วย
 6 โครโนซิมอลดีเย็นเอเข้มข้น 0.972 ไมโครกรัมต่อ SambA1 0.125 หน่วย
 7 โครโนซิมอลดีเย็นเอเข้มข้น 0.972 ไมโครกรัมต่อ SambA1 0.0625 หน่วย
 8 โครโนซิมอลดีเย็นเอเข้มข้น 0.972 ไมโครกรัมต่อ SambA1 0.03125 หน่วย
 9 โครโนซิมอลดีเย็นเอเข้มข้น 0.972 ไมโครกรัมต่อ SambA1 0.015625 หน่วย
 10 λ HindIII (กิโลเบล)

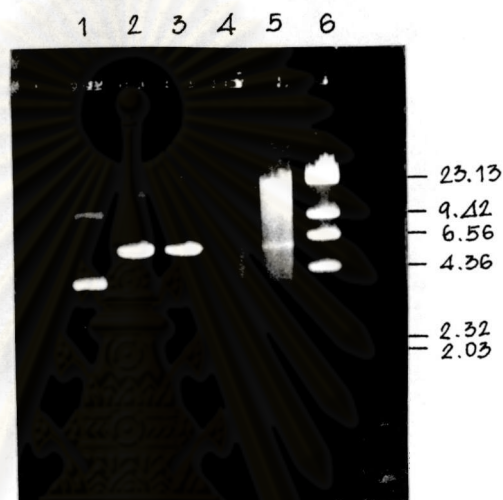
รูปที่ 8 แผนที่เรสทริกชันของพลาสมิคพาหะ pIJ702 เมื่อถูกตัดด้วยเรสทริกชัน เอ็นไซม์ BglII



รูปที่ 9 แผนที่เรสทริกชันของพลาสมิคพาหะ pIJ699 เมื่อถูกตัดด้วยเรสทริกชัน เอ็นไซม์ BglII และ BamHI

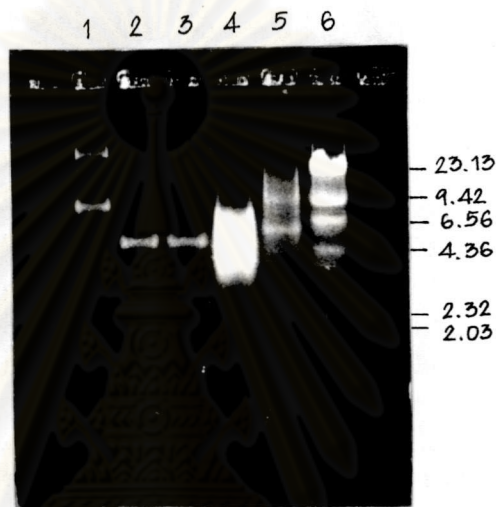


รูปที่ 10 ภาพแสดงการตัดพลาสมิค pIJ702 ด้วยเรสทริกชันเนอไซม์ BglIII แล้วทดสอบการเชื่อมกันด้วยตัวเอง (self ligation) หลังจากกำจัดหมู่ฟองสเนฟแล้ว และแสดงรีคอมบินท์พลาสมิคที่ผ่านการเชื่อม ด้วย T_4 DNA ligase บนอุกการไพรสเจล



- ช่องที่ 1 พลาสมิค pIJ702
 2 พลาสมิค pIJ702 ตัดด้วยเรสทริกชันเนอไซม์ BglIII และ BAP
 3 พลาสมิค pIJ702 จากช่องที่ 2 เชื่อมด้วยเอนไซม์ T_4 DNA ligase
 4 ชิ้นส่วนโครโนไซมอลดีเอ็นเอของ *Streptomyces* sp. 42-9 ขนาด 3-8 กิโลเบส
 5 รีคอมบินท์พลาสมิค
 6 λ HindIII (กิโลเบส)

รูปที่ 11 ภาพแสดงการตัดพลาสมิค pIJ699 ด้วยเรสทริกชันเอ็นไซม์ BglIII แล้วทดสอบการเชื่อมกันด้วยตัวเอง (self ligation) หลังจากกำจัดหมู่ฟอสเฟตแล้ว และแสดงรีคอมบินันท์พลาสมิคที่ผ่านการเชื่อมด้วย T_4 DNA ligase บนוחการไฮสเจล



- ช่องที่ 1 พลาสมิค pIJ699
- 2 พลาสมิค pIJ699 ขนาด 5 กิโลเบสที่ผ่านการตัดด้วยเรสทริกชันเอ็นไซม์ BglIII และ BsmHI และ BAP
- 3 พลาสมิค pIJ699 จากช่องที่ 2 เชื่อมด้วยเอ็นไซม์ T_4 DNA ligase
- 4 ชิ้นส่วนโครโนโซมอลดีเอ็นเอของ *Streptomyces* sp. 42-9 ขนาด 3-8 กิโลเบส
- 5 รีคอมบินันท์พลาสมิค
- 6 λ HindIII (กิโลเบส)

3.3 การสร้างรีคอมบินเนท์พลาสมิค

เมื่อเชื่อมชิ้นส่วนโคโรโนไซมอลติเอ็นເອນາດ 3-8 กິໂລບັນເສດ ເຊັກັນພລາສມືດພາຫະທີ່ເຕີຍໄດ້ໃນຂ້ອງ 3.2 ຕາມວິທີທີ່ກ່າວໃນບັນທຶກ 2 ຂ້ອງ 7.3 ພບວ່າເນື້ອໃໝ່ ມີ J702 ເປັນພລາສມືດພາຫະ ຈະໄດ້ຮັບອຳນວຍໃນຂ່າວງໜາດປ່ຽນມາແມ 6-23 ກິໂລບັນເສດ ດັ່ງແລດັງໃນຮູບທີ່ 10 ຂ່ອງທີ່ 5 ແລະຢັ້ງຄົງເລືອສ່ວນຂອງພລາສມືດພາຫະອີສະຈົ່ງເຖິງເປັນແຕນທີ່ 5.8 ກິໂລບັນເສດ ແລະຂຶ້ນລ່ວນໂຄຣໂນໂໂມໂລດີເອນເວີສະໜາດເລັກກ່າວ່າ 5.8 ກິໂລບັນເສດ

ສໍາຫັບຮັບອຳນວຍໃນຂ່າວງໜາດທີ່ໄດ້ຈາກການເຂື້ອມຂຶ້ນລ່ວນໂຄຣໂນໂໂມໂລດີເອນເວີສະໜາດເກັບພລາສມືດພາຫະ ມີ J699 ພາດ 5 ກິໂລບັນນີ້ ມີໜາດອູ້ໃນຂ່າວງປ່ຽນມາແມ 5.5-20 ກິໂລບັນເສດ ຕາມຮູບທີ່ 11 ຂ່ອງທີ່ 5

4. การການສັບອົບຮັບອຳນວຍໃນການການສັບອົບຮັບອຳນວຍ

ຈາກການທົດສອບປະລິກິພາກໃນການການສັບອົບຮັບອຳນວຍພລາສມືດ 2 ຊົນດ ຄືວ ມີ J699 ແລະ ມີ J702 ທີ່ຢູ່ໄວ້ໄດ້ຜ່ານຂັ້ນທອນໂຄລນຢືນເຂົ້າສູ່ S. *lividans* TK64 ພລກາກທົດລອງດັ່ງແລດັງໃນທາງທີ່ 6 ພບວ່າ ປະລິກິພາກໃນການການສັບອົບຮັບອຳນວຍ ມີ J699 ແລະ ມີ J702 ມີຄ່າເທົ່າກັນ 5.84×10^5 ແລະ 9.52×10^5 ກຽນສັບອົບຮັບອຳນວຍ/ໄມໂຄຣກັມດີເອນເວີສະໜາດລຳດັບ ແຕ່ເນື້ອການສັບອົບຮັບອຳນວຍຮັບອຳນວຍພລາສມືດຈາກຂ້ອງ 3.3 ປ່ຽກງວ່າ ປະລິກິພາກຂອງການການສັບອົບຮັບອຳນວຍລົດລົງ ຄືວເນື້ອການສັບອົບຮັບອຳນວຍຮັບອຳນວຍພລາສມືດທີ່ມີຂຶ້ນລ່ວນຂອງ ມີ J699 ເປັນພລາສມືດພາຫະໄດ້ຈຳນວນກຽນສັບອົບຮັບອຳນວຍ 3.02×10^3 ຕ່ອໄມໂຄຣກັມດີເອນເວີ ແລະເນື້ອການສັບອົບຮັບອຳນວຍຮັບອຳນວຍພລາສມືດທີ່ມີ ມີ J702 ເປັນພລາສມືດພາຫະ ໄດ້ຈຳນວນກຽນສັບອົບຮັບອຳນວຍ 5.40×10^3 ຕ່ອໄມໂຄຣກັມດີເອນເວີ ໂດຍລົດລົງ 193 ແລະ 110 ເທົ່າ ຕາມລຳດັບ

5. ການແສດງອອກຂອງໄຊແລນເລືອນໃນໂຄລນຂອງ S. *lividans* TK64

5.1 ຮັບອຳນວຍພລາສມືດທີ່ມີຂຶ້ນລ່ວນຂອງພລາສມືດ ມີ J699 ແລະແລດັງແວດີວິທີຂອງໄຊແລນເລືອນ

ຈາກການຄັດເລືອກໂຄລນທີ່ໄໝວງໄສຮອບໂຄໂລນີ ບນອາຫານແບ່ງທີ່ມີໄຊແລນເປັນອົງກໍ ປະກອບ ພບວ່າໄຕໂຄລນ 3 ໂຄນ ຄືວ S. *lividans* TK64 ທີ່ມີພລາສມືດ PPT6C ,

ตารางที่ 6 ประสิทธิภาพในการกรานสฟอร์มพลาสมิคพาหะ pIJ702 และ pIJ699
ที่ยังไม่ผ่านการตัดด้วยเรสทริกชันเอนไซม์ เทียบกับรีคอมบินน์พลาสมิค^{ที่}
ของพลาสมิคพาหะทึ้งส่องเข้าสู่โปรตอพลาสต์ ของ S. lividans TK64

ชนิดของพลาสมิค	จำนวนกรานสฟอร์มหน่วยไมโครกรัมดีเอ็นเอ
pIJ702	9.52×10^8
pIJ699	5.84×10^8
รีคอมบินน์พลาสมิคโดยใช้ pIJ702 เป็นพลาสมิคพาหะ	5.40×10^8
รีคอมบินน์พลาสมิคโดยใช้ ชิ้นส่วนของ pIJ699 เป็น พลาสมิคพาหะ	3.02×10^8

pPT6E และ pPT6G ดังแสดงในรูปที่ 12

นำโคลน *S. lividans* TK64/pPT6C , *S. lividans* TK64/pPT6E และ *S. lividans* TK64/pPT6G มาเลี้ยงในอาหารเลี้ยงเชื้อเหลวที่มีไซแพลนเป็นองค์ประกอบ ผลการทดลองในรูปที่ 13 และตารางที่ 7 พบว่าได้แอกติวิตี้ของไซแพลนสูงสุดในโคลนที่มีพลาสมิด pPT6C , pPT6E และ pPT6G วัดแอกติวิตี้ได้ 5.19 , 4.85 และ 4.28 หน่วย/ml. ตามลำดับ ซึ่งใกล้เคียงกับแอกติวิตี้สูงสุดของ *Streptomyces* sp.42-9 คือ 4.50 หน่วย/ml.

เมื่อเปรียบเทียบกับ *S. lividans* TK64 พบว่า pPT6C , pPT6E และ pPT6G มีแอกติวิตี้ของไซแพลนเพิ่มขึ้นจากเดิม 74 , 69 และ 61 เท่าตามลำดับ เมื่อเลี้ยงเชื้อในอาหารเหลวที่มีการรำข้าว ผลการทดลองในรูปที่ 14 และตารางที่ 7 โดยใช้สูตรอาหารที่ปรับปรุงแล้วสำหรับ *Streptomyces* sp.42-9 พบว่า *S. lividans* TK64/pPT6C ให้แอกติวิตี้ของไซแพลนใกล้เคียงกับ *Streptomyces* sp.42-9 มากที่สุด *S. lividans* TK64/pPT6E และ *S. lividans* TK64/pPT6G ให้แอกติวิตี้ต่ำกว่าเล็กน้อย

5.2 รีคอมบินันท์มีพลาสมิด pIJ702 และแสดงแอกติวิตี้ของไซแพลน

จากการคัดเลือกโคลนที่ให้วงไสรอบโคลนนี้ บนอาหารน้ำซึ่งที่มีไซแพลนเป็นองค์ประกอบ พบว่าได้โคลน 5 โคลน คือ *S. lividans* TK64 ที่มีพลาสมิด pPT7-1, pPT7-2 , pPT7-3 , pPT7-4 และ pPT7-5 ดังแสดงในรูปที่ 15

นำโคลนทั้ง 5 มาเลี้ยงในอาหารเลี้ยงเชื้อเหลวที่มีไซแพลนเป็นองค์ประกอบ ผลการทดลองในตารางที่ 8 พบว่าให้แอกติวิตี้ของไซแพลนสูงสุดอยู่ในช่วง 0.3-0.8 หน่วย/ml. เท่านั้น ซึ่งให้ผลต่ำกว่า *Streptomyces* sp.42-9 มาก เมื่อเปรียบเทียบกับ *S. lividans* TK64 พบว่าแอกติวิตี้ของไซแพลนเพิ่มขึ้นกว่าเดิมประมาณ 5-11 เท่า

เมื่อนำโคลนทั้ง 5 มาเลี้ยงในอาหารเหลวที่มีการรำข้าวเป็นองค์ประกอบ ปรากฏว่าไม่พบแอกติวิตี้ของไซแพลน



รูปที่ 12 ลักษณะวงไส้รอบโคลนีของ *S. lividans* TK64/pPT6C, *S. lividans* TK64/pPT6E และ *S. lividans* TK64/pPT6G เปรียบเทียบกับ *Streptomyces* sp.42-9 และ *S. lividans* TK64 ที่เลี้ยงบนอาหารเลี้ยงเชื้อแข็งที่มีไซลันเป็นองค์ประกอบ



ศูนย์วิทยาศาสตร์พยากร
จุฬาลงกรณ์มหาวิทยาลัย

1 *Streptomyces* sp.42-9

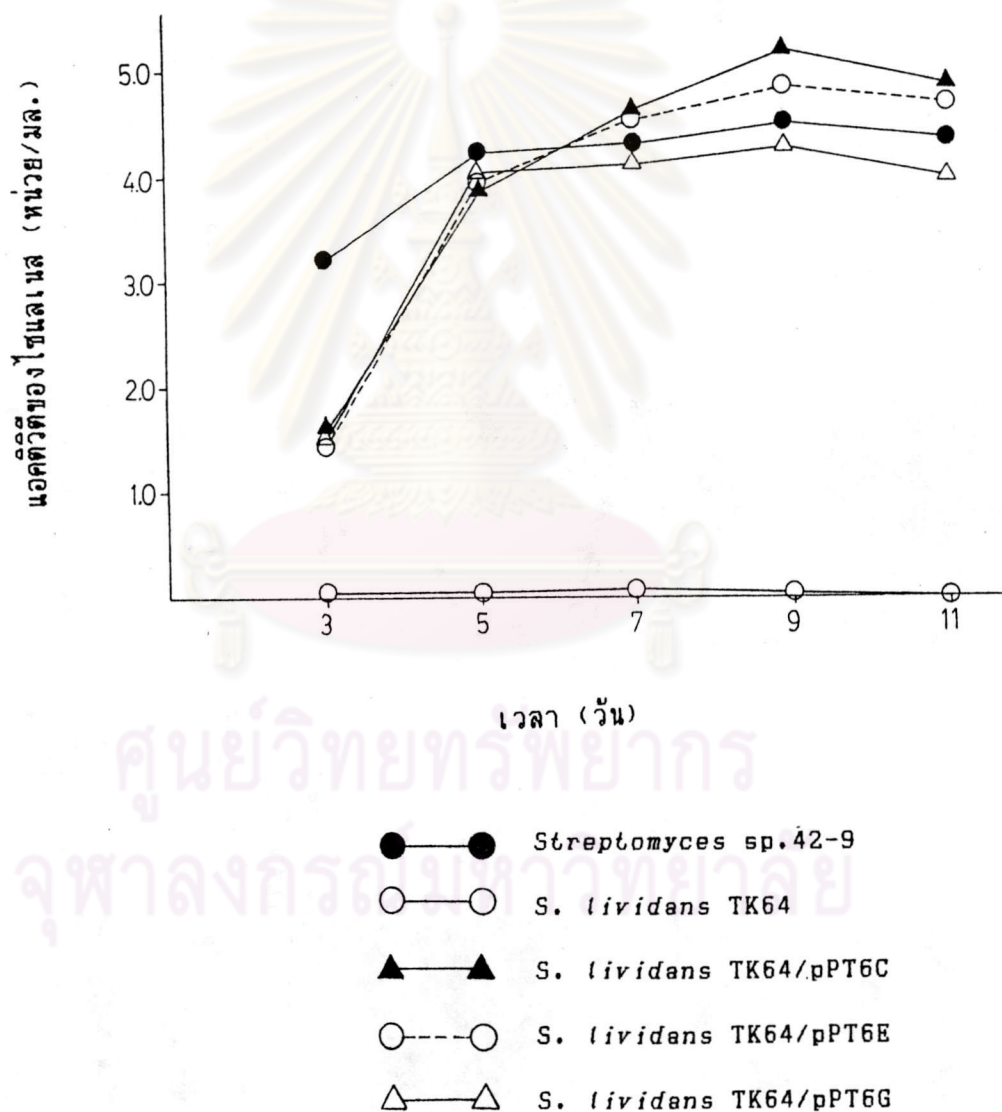
2 *S. lividans* TK64

3 *S. lividans* TK64/pPT6C

4 *S. lividans* TK64/pPT6E

5 *S. lividans* TK64/pPT6G

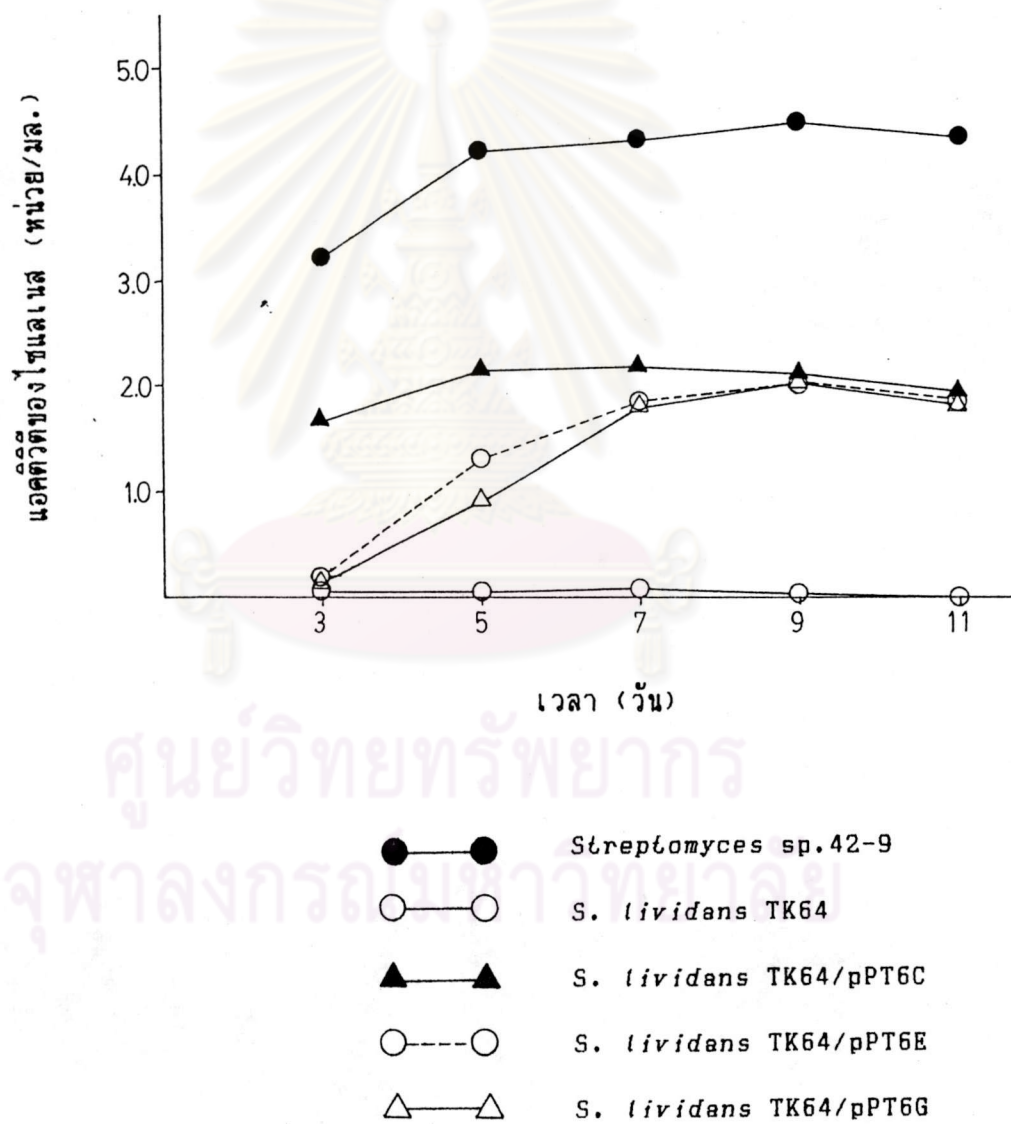
รูปที่ 13 ผลตัวข้องไซแลนส์ที่เวลาต่าง ๆ ของคลินที่คัดเลือกได้จากรูปที่ 12
เปรียบเทียบกับ *Streptomyces* sp. 42-9 และ *S. lividans* TK64
ในอาหารเดี่ยวเหลวที่มีไซแลนเป็นองค์ประกอบ (ภาคผนวก ก.4)
โดยเขย่าแบบ rotary ความเร็ว 200 รอบ/นาที ที่อุณหภูมิ 30°ช
เป็นเวลา 3-11 วัน



ตารางที่ 7 เปรียบเทียบผลตัวสูงสุดของไซแลนจากโคลนที่คัดเลือกได้จากรุ่นที่ 12 ซึ่งแสดงออกใน *S. lividans* TK64 กับ *Streptomyces* sp. 42-9 และ *S. lividans* TK64 โดยเลี้ยงในอาหารเลี้ยงเชื้อเหลวที่มีไซแลน และการรำข้าวเป็นองค์ประกอบ (ภาชนะ ก.4 และ ก.5) โดยเขย่าแบบ rotary ความเร็ว 200 รอบ/นาที ที่อุณหภูมิ 30°C

สายพันธุ์	ผลตัวสูงสุดของไซแลน (หน่วย/มล.)	
	ไซแลน	การรำข้าว
<i>Streptomyces</i> sp. 42-9	4.50	2.10
<i>S. lividans</i> TK64	0.07	0.00
<i>S. lividans</i> TK64/pIJ6-C	5.19	2.17
<i>S. lividans</i> TK64/pIJ6-E	4.85	2.04
<i>S. lividans</i> TK64/pIJ6-G	4.28	2.02

รูปที่ 14 ผลตัวชี้ของไซแลนส์ที่เวลาต่าง ๆ ของโคลนที่คัดเลือกได้จากรูปที่ 12 เปรียบเทียบกับ *Streptomyces* sp.42-9 และ *S. lividans* TK64 ในอาหารเลี้ยงเชื้อเหลวที่มีการรำข้าวเป็นองค์ประกอบ (ภาชนะ ก.5) โดยใช้แบบ rotary ความเร็ว 200 รอบ/นาที ที่อุณหภูมิ 30°C เป็นเวลา 3-11 วัน



รูปที่ 15 ลักษณะวงไส้รอบโคลนของ *S. lividans* TK64/pPT7-1, *S. lividans* TK64/pPT7-2, *S. lividans* TK64/pPT7-3, *S. lividans* TK64/pPT7-4 และ *S. lividans* TK64/pPT7-5 เปรียบเทียบกับ *Streptomyces* sp. 42-9 และ *S. lividans* TK64 ที่เลี้ยงบนอาหารเลี้ยงเชื้อแข็งที่มีไซแลนเป็นองค์ประกอบ



1 *Streptomyces* sp. 42-9

2 *S. lividans* TK64

3 *S. lividans* TK64/pPT7-1

4 *S. lividans* TK64/pPT7-2

5 *S. lividans* TK64/pPT7-3

6 *S. lividans* TK64/pPT7-4

7 *S. lividans* TK64/pPT7-5

ตารางที่ 8 เปรียบเทียบยอดตัวสูงสุดของไซแลนจากโคลนที่คัดเลือกได้จากรุปที่ 15
ซึ่งแสดงออกใน *S. lividans* TK64 กับ *Streptomyces* sp. 42-9
และ *S. lividans* TK64 โดยเลี้ยงในอาหารเลี้ยงเชื้อเหลวที่มีไซแลน
เป็นองค์ประกอบ (ภาชนะ ก.4) โดยเขย่าแบบ rotary ความเร็ว
200 รอบ/นาที ท่อผักห่ม 30°ช

สายพันธุ์	ยอดตัวสูงของไซแลน (หน่วย/มล.)
<i>Streptomyces</i> sp. 42-9	4.50
<i>S. lividans</i> TK64	0.07
<i>S. lividans</i> TK64/pPT7-1	0.79
<i>S. lividans</i> TK64/pPT7-2	0.73
<i>S. lividans</i> TK64/pPT7-3	0.35
<i>S. lividans</i> TK64/pPT7-4	0.32
<i>S. lividans</i> TK64/pPT7-5	0.32



6. การกรานฟอร์มลาสมิคนาหะที่มีไซแลเนลยินในโคลนได้ เช้าสู่ *Streptomyces*

sp. 190-1

ลักษณะการคอมบิแนต์พลาสมิดที่มีไซแลเนลยิน คือ pPT6C , pPT6E , pPT6G , pPT7-1 , pPT7-2 , pPT7-3 , pPT7-4 และ pPT7-5 จาก S. *lividans* TK64 แล้วนำมากรานฟอร์มเช้าสู่ *Streptomyces* sp.190-1 นำกรานฟอร์มมาที่ได้มาตรฐานส่วนแยกตัวที่ของไซแลเนล บนอาหารแข็งที่มีไซแลนเป็นองค์ประกอบ แต่เนื่องจาก *Streptomyces* sp.190-1 สร้างรงค์วัตถุสีดำ (melanin) ในปริมาณสูงทำให้ไม่เห็นวงไสรอนโคลนอย่างชัดเจน (ไม่ได้แสดงในผลการทดลอง) จึงนำกรานฟอร์มมาที่ได้มาตรฐานส่วนแยกตัวที่ของไซแลเนล

7. การแสดงออกของไซแลเนลยินในโคลนต่าง ๆ ของ *Streptomyces* sp. 190-1

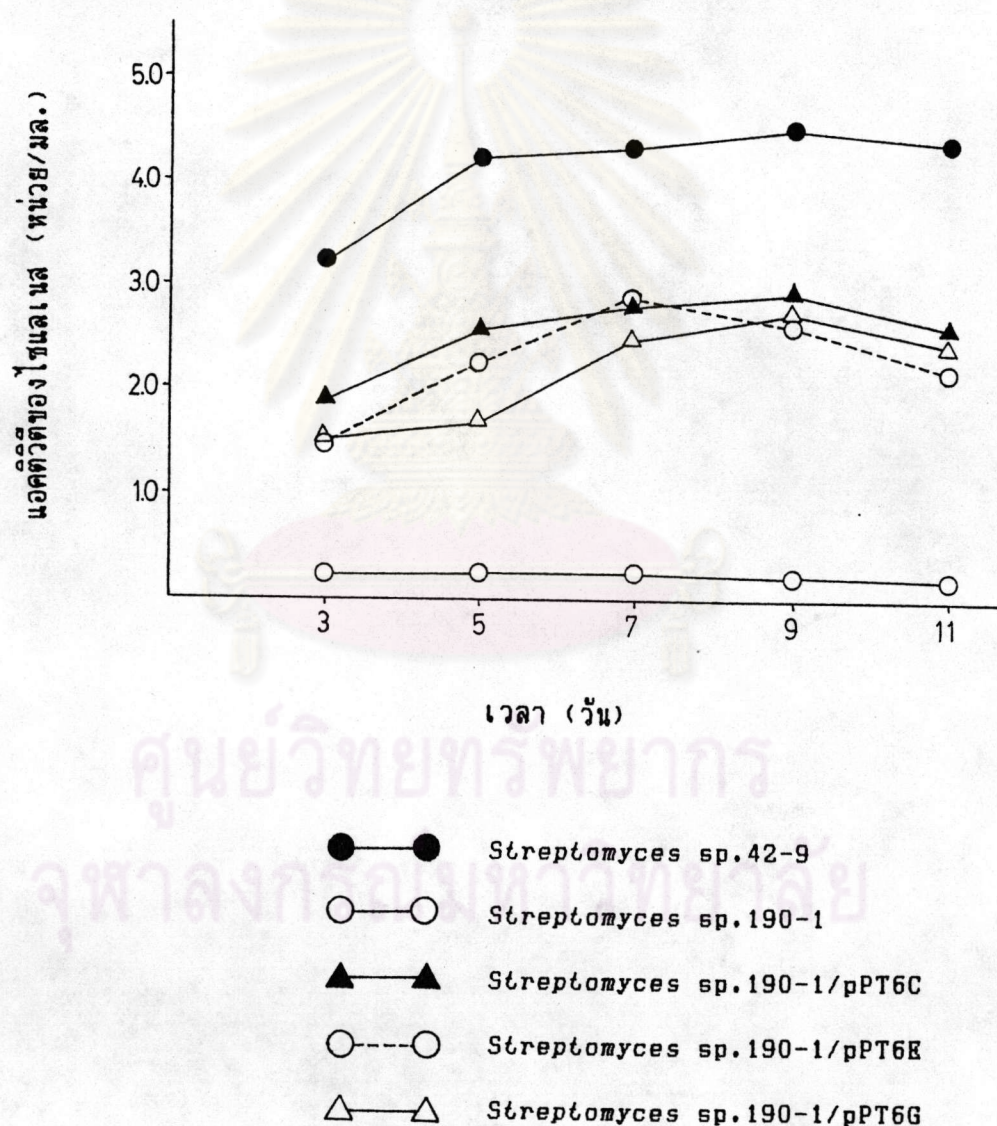
7.1 การแสดงออกของไซแลเนลแยกตัวที่ของพลาสมิด pPT6C , pPT6E และ pPT6G ใน *Streptomyces* sp. 190-1

เลี้ยงโคลน *Streptomyces* sp.190-1/pPT6C , *Streptomyces* sp.190-1/pPT6E และ *Streptomyces* sp.190-1/pPT6G ในอาหารเลี้ยง เชือกที่มีไซแลนเป็นองค์ประกอบ ผลการทดลองในรูปที่ 16 และตารางที่ 9 พบว่า แยกตัวที่ของไซแลเนลที่ได้สูงสุด คือ 2.93 , 2.82 และ 2.73 หน่วย/มล. ตามลำดับ ซึ่งต่ำกว่า *Streptomyces* sp.42-9 ประมาณ 1.5 เท่า

เมื่อเปรียบเทียบกับ *Streptomyces* sp.190-1 พบว่า โคลนทั้งสาม ให้แยกตัวที่ของไซแลเนลเพิ่มขึ้นจากเดิมประมาณ 10 เท่า

นำโคลนทั้ง 3 มาเลี้ยงในอาหารเหลวที่มีการกราร์ข้าวเป็นองค์ประกอบ ผลการทดลองในรูปที่ 17 ตารางที่ 9 พบว่า *Streptomyces* sp.190-1/pPT6C ให้แยกตัวที่ของไซแลเนลสูงกว่า *Streptomyces* sp.42-9 เล็กน้อย *Streptomyces* sp.190-1/pPT6E ให้แยกตัวที่ใกล้เคียงกันกับของ *Streptomyces* sp.42-9 ขณะที่ *Streptomyces* sp.190-1/pPT6G ให้แยกตัวที่ต่ำกว่าเล็กน้อย แต่เมื่อเทียบกับ *Streptomyces* sp.190-1 พบว่า แยกตัวที่ของไซแลเนลเพิ่มขึ้นมากกว่าเดิม 6-8 เท่า

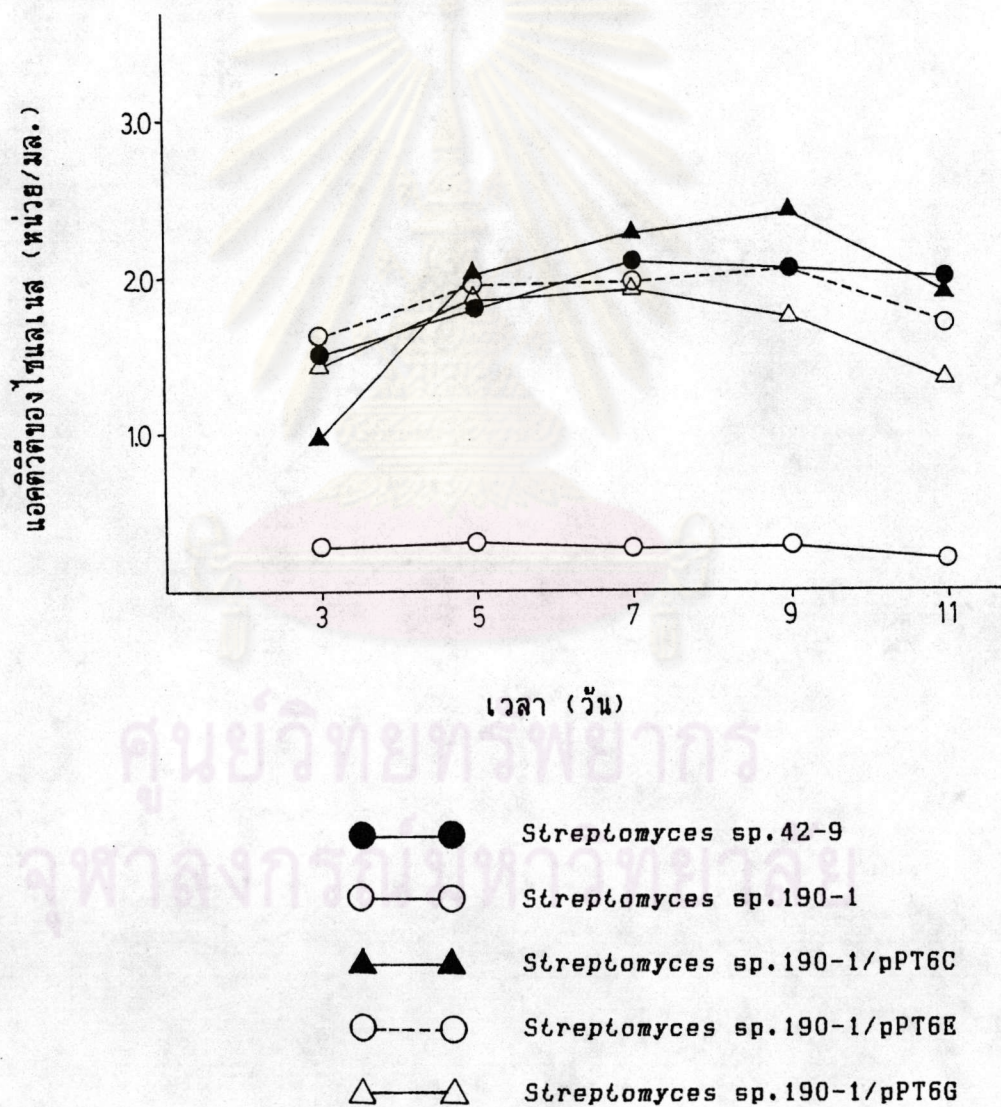
รูปที่ 16 ผลตัวตีบของไซแลนส์ที่เวลาต่าง ๆ ของ *Streptomyces* sp.190-1/pPT6C, *Streptomyces* sp.190-1/pPT6E และ *Streptomyces* sp.190-1/pPT6G เปรียบเทียบกับ *Streptomyces* sp.42-9 และ *Streptomyces* sp.190-1 ในอาหารเลี้ยงเชื้อเหลวที่มีไซแลนเป็นองค์ประกอบ (ภาคผนวก ก.4) โดยเขย่าแบบ rotary ความเร็ว 200 รอบ/นาที ที่อุณหภูมิ 30°C เป็นเวลา 3-11 วัน



ตารางที่ 9 เปรียบเทียบผลิติสูงสุดของไซแลนจาก *Streptomyces* sp.190-1 ที่รับพลาสมิด pPT6C , pPT6E และ pPT6G กับ *Streptomyces* sp.42-9 และ *Streptomyces* sp.190-1 โดยเลี้ยงในอาหารเลี้ยงเชื้อเหลวที่มีไซแลน และการรำข้าวเป็นองค์ประกอบ (ภาชนะ ก.4 และ ก.5) โดยเขย่าแบบ rotary ความเร็ว 200 รอบ/นาที ที่อุณหภูมิ 30°C

สายพันธุ์	ผลิติของไซแลน (หน่วย/มล.)	
	ไซแลน	การรำข้าว
<i>Streptomyces</i> sp.42-9	4.50	2.10
<i>Streptomyces</i> sp.190-1	0.26	0.31
<i>Streptomyces</i> sp.190-1/pPT6C	2.93	2.42
<i>Streptomyces</i> sp.190-1/pPT6E	2.82	2.06
<i>Streptomyces</i> sp.190-1/pPT6G	2.73	1.95

รูปที่ 17 ผลตัวขึ้นของไซแลเนสที่เวลาต่าง ๆ ของ *Streptomyces* sp.190-1/pPT6C, *Streptomyces* sp.190-1/pPT6E และ *Streptomyces* sp.190-1/pPT6G เปรียบเทียบกับ *Streptomyces* sp.42-9 และ *Streptomyces* sp.190-1 ในอาหารเลี้ยงเชื้อเหลวที่มีการรำข้าวเป็นองค์ประกอบ (ภาชนะ ก.5) โดยเขย่าแบบ rotary ความเร็ว 200 รอบ/นาที ที่อุณหภูมิ 30°C เป็นเวลา 3-11 วัน





7.2 การแสดงออกของไซแลนส์แอคติวิตี้ของพลาสมิด pPT7-1 , pPT7-2 , pPT7-3 , pPT7-4 และ pPT7-5 ใน *Streptomyces* sp. 190-1

ผลการทดลองเลี้ยง *Streptomyces* sp. 190-1 ที่ได้รับรีคอมบินันท์ พลาสมิด pPT7-1 , pPT7-2 , pPT7-3 , pPT7-4 และ pPT7-5 ในอาหาร เลี้ยงเชื้อเหลวที่มีไซแลนเป็นองค์ประกอบในรูปที่ 18 และตารางที่ 10 พบว่า *Streptomyces* sp. 190-1/pPT7-1 ให้แอคติวิตี้ของไซแลนสูงสุดในกลุ่มเดียวกัน คือ 3.22 หน่วย/ml. แต่ทุก ๆ โคลนให้แอคติวิตี้ต่างกัน *Streptomyces* sp. 42-9 เมื่อเทียบกับ *Streptomyces* sp. 190-1 พบว่าให้แอคติวิตี้ของไซแลนสูงกว่าเดิม 9-12 เท่า

นำโคลนต่าง ๆ มาเลี้ยงในอาหารเหลวที่มีการรำข้าวเป็นองค์ประกอบ ผลการทดลองในรูปที่ 19 และตารางที่ 10 พบว่า pPT7-1 และ pPT7-3 ให้แอคติวิตี้ของไซแลนสูงกว่า *Streptomyces* sp. 42-9 1.44 และ 1.11 เท่า ตามลำดับ นอกจากนี้ให้แอคติวิตี้ต่ำ โดยเฉพาะ pPT7-5 ให้แอคติวิตี้ต่ำที่สุด คือ 0.85 หน่วย/ml.

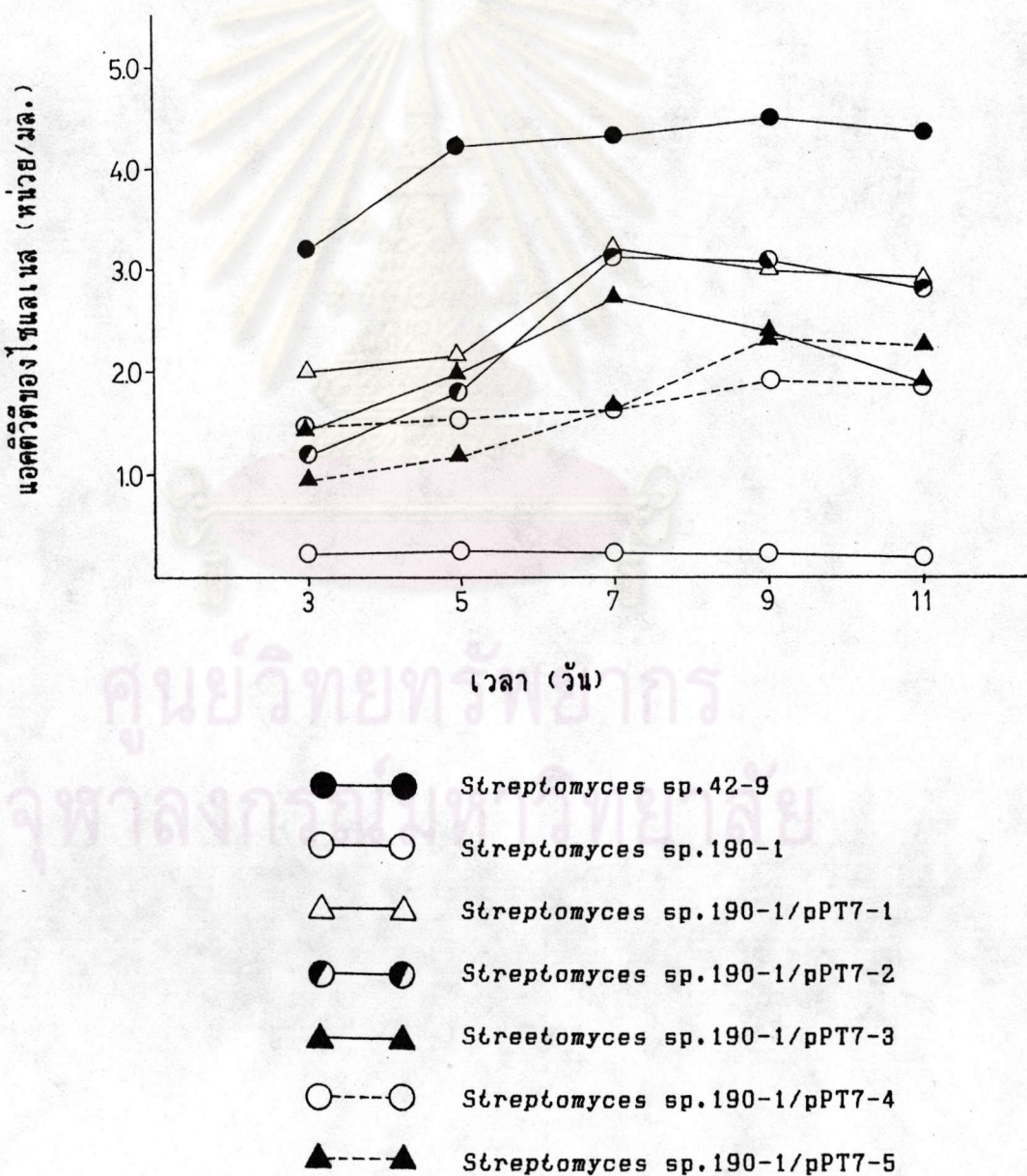
เมื่อเปรียบเทียบกับ *Streptomyces* sp. 190-1 พบว่าโคลนต่าง ๆ ให้แอคติวิตี้ของไซแลนสูงขึ้นมากกว่าเดิม โดย *Streptomyces* sp. 190-1/pPT7-1 ให้แอคติวิตี้สูงสุดคือ 3.02 หน่วย/ml. ซึ่งสูงกว่าเดิม 9.7 เท่า

8. ผลของกลุ่มโคสต่อการผลิตไซแลนส์ในโคลนต่าง ๆ ของ *Streptomyces* sp. 190-1

กาญจนานา (49) ทดลองเติมกลุ่มโคสลงในอาหารเลี้ยงเชื้อของ *Streptomyces* sp. 42-9 พบว่ากลุ่มโคส 1% จะกดดัน (repress) การผลิตไซแลนโดยลิ้นเริง แสดงว่าไซแลนส์ที่ผลิตโดย *Streptomyces* sp. 42-9 เป็นลักษณะชักนำ (inducible enzyme) โดยมีไซโลสเป็นสารชักนำและกลุ่มโคสเป็นสารกดดันการสร้างเอนไซม์

Ghangas และคณะ (47) โคลนไซแลนส์ยืนจาก *Thermomonospora fusca* เนื้อราก S. *liriodens* พบว่าโคลนที่ได้ใหม่สามารถผลิตไซแลนส์ในอาหารที่มีกลุ่มโคสเป็นแหล่งคาร์บอนได้ ทั้ง ๆ ที่การสร้างไซแลนส์ใน *T. fusca* จะถูกกดดัน การผลิตไซแลนส์เมื่อมีกลุ่มโคส

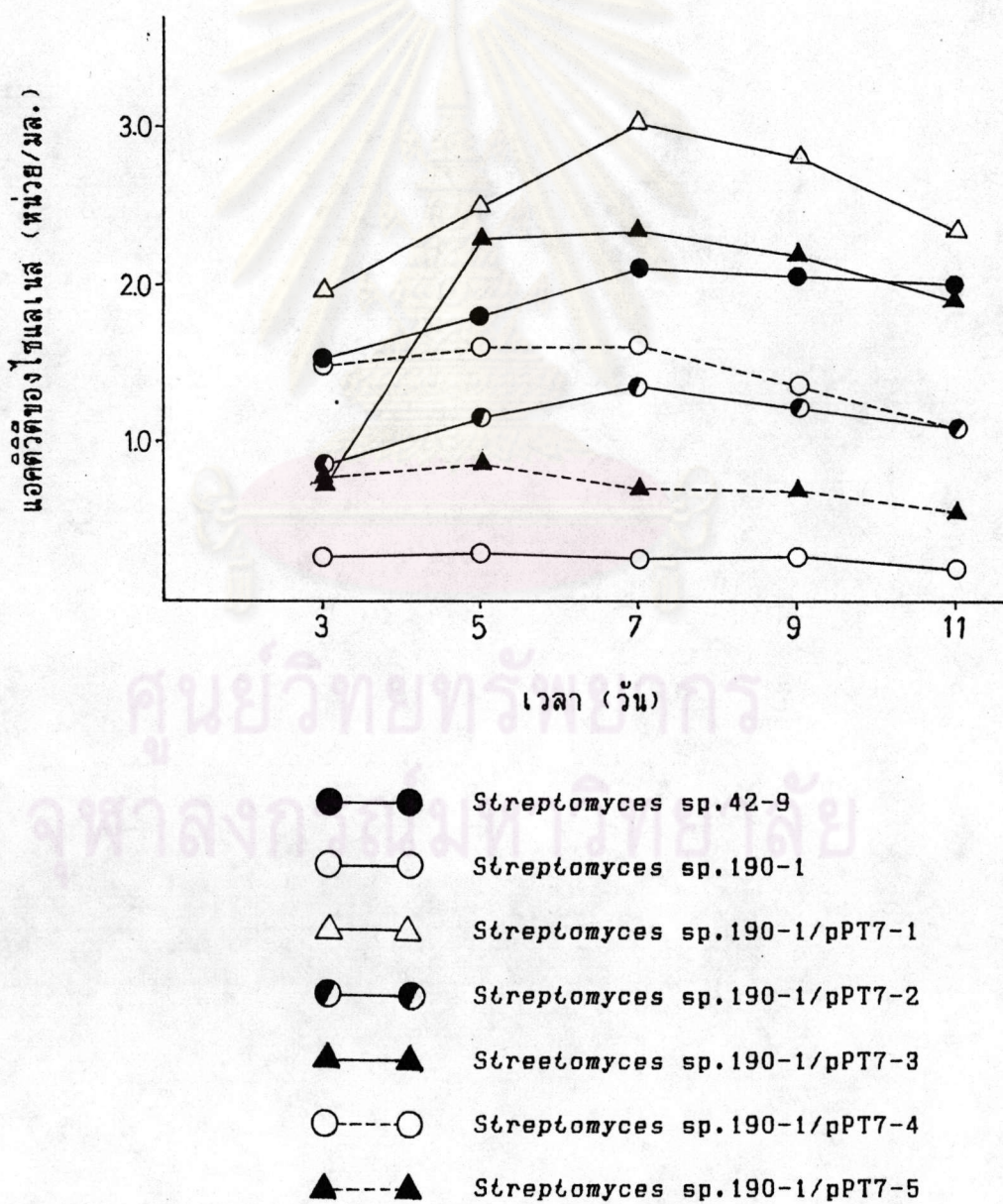
รูปที่ 18 ผลตัวทิของไซแลนส์ที่เวลาต่าง ๆ ของ *Streptomyces* sp.190-1/pPT7-1, *Streptomyces* sp.190-1/pPT7-2, *Streptomyces* sp.190-1/pPT7-3, *Streptomyces* sp.190-1/pPT7-4 และ *Streptomyces* sp.190-1/pPT7-5 เปรียบเทียบกับ *Streptomyces* sp.42-9 และ *Streptomyces* sp.190-1 ในอาหารเลี้ยงเชื้อเหลวที่มีไซแลนเป็นองค์ประกอบ (ภาชนะ ก.4) โดยเขย่าแบบ rotary ความเร็ว 200 รอบ/นาที ที่อุณหภูมิ 30°C เป็นเวลา 3-11 วัน



ตารางที่ 10 เปรียบเทียบผลตัวสูงสุดของไซแลนเจลจาก *Streptomyces* sp.190-1 ที่รับพลาสมิด pPT7-1 , pPT7-2 , pPT7-3 , pPT7-4 และ pPT7-5 กับ *Streptomyces* sp.42-9 และ *Streptomyces* sp.190-1 โดย เลี้ยงในอาหารเลี้ยงเชื้อเหลวที่มีไซแลน และการรำข้าวเป็นองค์ประกอบ (ภาชนะ ก.4 และ ก.5) โดยเขย่าแบบ rotary ความเร็ว 200 รอบ/นาที ที่อุณหภูมิ 30°C

สายพันธุ์	ผลตัวสูงสุดของไซแลนเจล (หน่วย/มล.)	
	ไซแลน	การรำข้าว
<i>Streptomyces</i> sp.42-9	4.50	2.10
<i>Streptomyces</i> sp.190-1	0.26	0.31
<i>Streptomyces</i> sp.190-1/pPT7-1	3.22	3.02
<i>Streptomyces</i> sp.190-1/pPT7-2	3.13	1.34
<i>Streptomyces</i> sp.190-1/pPT7-3	2.73	2.34
<i>Streptomyces</i> sp.190-1/pPT7-4	1.92	1.61
<i>Streptomyces</i> sp.190-1/pPT7-5	2.32	0.85

รูปที่ 19 ผลตัวขีดของไซเลเนสที่เวลาต่าง ๆ ของ *Streptomyces* sp.190-1/pPT7-1, *Streptomyces* sp.190-1/pPT7-2, *Streptomyces* sp.190-1/pPT7-3, *Streptomyces* sp.190-1/pPT7-4 และ *Streptomyces* sp.190-1/pPT7-5 เปรียบเทียบกับ *Streptomyces* sp.42-9 และ *Streptomyces* sp.190-1 ในอาหารเลี้ยงเชื้อเหลวที่มีการรำข้าวเป็นองค์ประกอบ (ภาชนะ ก.๕) โดยเขย่าแบบ rotary ความเร็ว 200 รอบ/นาที ที่อุณหภูมิ 30° ฯ เป็นเวลา 3-11 วัน



การทดลองนี้ จึงจะตรวจสอบผลของกลุ่โคลต่อการสร้างไซแอลเนล โดยยืนที่ โคลนได้โดยนำ *Streptomyces* sp. 190-1 ที่มีรีคอมบิแนนท์พลาสติก pPT6C , pPT6E , pPT6G , pPT7-1 , pPT7-2 , pPT7-3 , pPT7-4 และ pPT7-5 มาเลี้ยงในอาหารที่มีกลูโคส 1% เป็นแหล่งคาร์บอนแทนไซแอล (องค์ประกอบอื่น ๆ เหมือนเดิมตามภาคผนวก ก.4) โดยเบรียบเทียบกับ *Streptomyces* sp. 42-9 พบว่ากลุ่โคลดังมีผลกดดันการสร้างไซแอลในยืนที่โคลนได้ทุกโคลน โดยวัดแยกตัวที่ของไซแอลได้อยู่ในช่วง 0.00-0.03 หน่วย/มล. (ไม่ได้แสดงผลในการทดลอง)

9. ขนาดชิ้นส่วนของดีเอ็นเอในรีคอมบิแนนท์พลาสติกที่แสดงออกตัวของไซแอล

9.1 ขนาดชิ้นส่วนดีเอ็นเอจากรีคอมบิแนนท์พลาสติก ที่สร้างขึ้นโดยใช้ชิ้นส่วนของ pIJ699 เป็นพลาสติกพาหะ

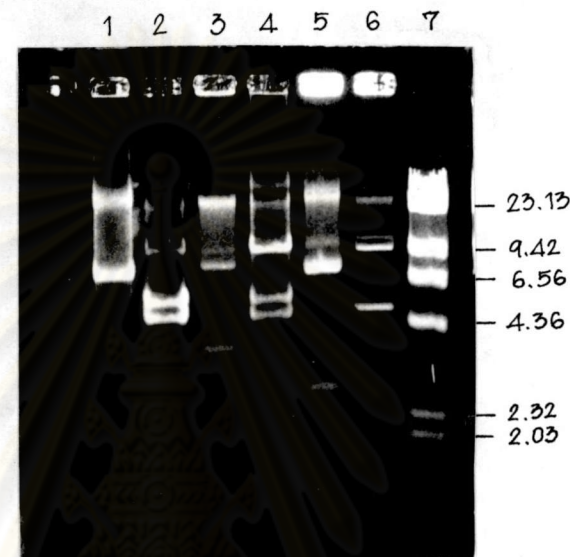
เมื่อนำรีคอมบิแนนท์พลาสติก pPT6C , pPT6E และ pPT6G มาตัดตัวยเรสทริกชันเอ็นไซม์ HindIII เพื่อแยกชิ้นส่วนดีเอ็นเอที่ใส่เข้าไป (inserted DNA) ออกจากชิ้นส่วนพาหะ ผลการทดลองแสดงในรูปที่ 20 และตารางที่ 11 พบว่าขนาดของชิ้นส่วนดีเอ็นเอ ที่ใส่เข้าไปและมีไซแอลส่วน เท่ากับ 4.8 , 14.2 และ 9.4 กิโลเบลสตามลำดับ

9.2 ขนาดชิ้นส่วนดีเอ็นเอในรีคอมบิแนนท์พลาสติกที่สร้างขึ้นโดยใช้ pIJ702 เป็นพลาสติกพาหะ

เมื่อนำรีคอมบิแนนท์พลาสติก pPT7-1 , pPT7-2 , pPT7-3 , pPT7-4 และ pPT7-5 มาตัดตัวยเรสทริกชันเอ็นไซม์ BamHI ผลการทดลองตามรูปที่ 21 ก. และตารางที่ 12 พบว่าพลาสติกทั้ง 5 มีขนาด 6.3 , 10.2 , 6.3 , 12.2 , 10.2 กิโลเบลส ตามลำดับ และเมื่อหักลบขนาดของพลาสติกพาหะ pIJ702 ซึ่งมีขนาด 5.8 กิโลเบลสออก พบว่าขนาดของชิ้นส่วนดีเอ็นเอที่มีไซแอลส่วนในพลาสติก pPT7-1 , pPT7-2 , pPT7-3 , pPT7-4 และ pPT7-5 มีขนาดเท่ากับ 0.5 , 4.4 , 0.5 , 6.4 , 4.4 กิโลเบลสตามลำดับ เมื่อตัด pPT7-3 ด้วยเรสทริกชันเอ็นไซม์ PstI พบว่าได้ชิ้นส่วนดีเอ็นเอ 2 ชิ้น มีขนาด 6.3 และ 5.75 กิโลเบลส ตามรูปที่ 21 ข.



รูปที่ 20 ภาพแสดงขนาดของชิ้นส่วนดีเอ็นเอที่มีไซแลนด์อิน (inserted DNA) ในรีคอมบินантพลาสมิด pPT6C , pPT6E และ pPT6G เมื่อตัดด้วยเรสทริกชันเอนไซม์ HindIII บนօกาโรสเจล



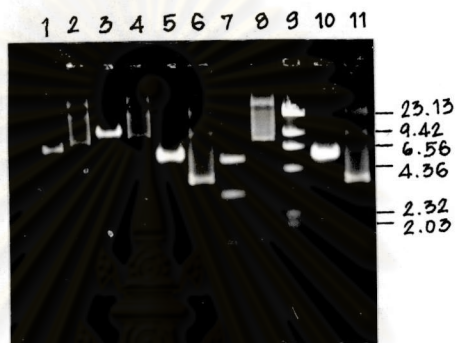
- ช่องที่ 1 พลาสมิด pPT6C
 2 พลาสมิด pPT6C ตัดด้วยเรสทริกชันเอนไซม์ HindIII
 3 พลาสมิด pPT6E
 4 พลาสมิด pPT6E ตัดด้วยเรสทริกชันเอนไซม์ HindIII
 5 พลาสมิด pPT6G
 6 พลาสมิด pPT6G ตัดด้วยเรสทริกชันเอนไซม์ HindIII
 7 λ HindIII (กิโลเบส)

ตารางที่ 11 ขนาดของชิ้นล่วนดีเอ็นเอที่มีไซแลนส์ (inserted DNA) ที่ได้จาก การตัดรีคอมบินันท์พลาสมิด pPT6C , pPT6E และ pPT6G ด้วย HindIII

รีคอมบินันท์พลาสมิด	ขนาดชิ้นล่วนดีเอ็นเอที่มีไซแลนส์ (กิโลเบล)
pPT6C	4.8
pPT6E	14.2
pPT6G	9.4

ศูนย์วิทยาหรรพยากร
จุฬาลงกรณ์มหาวิทยาลัย

รูปที่ 21 ก. ภาพแสดงขนาดของชิ้นส่วนดีเอ็นเอที่มีไซแลนเดย์น (inserted DNA) ในรีคอมบินันท์พลาสมิด pPT7-1 , pPT7-2 , pPT7-3 , pPT7-4 และ pPT7-5 เมื่อตัดด้วยเรสทริกชันเน恩ไซม์ BamHI บนօกาໂຣສເຈລ



- ช่องที่ 1 พลาสมิด pPT7-5 ตัดด้วยเรสทริกชันเน恩ไซม์ BamHI
 2 พลาสมิด pPT7-5
 3 พลาสมิด pPT7-4 ตัดด้วยเรสทริกชันเน恩ไซม์ BamHI
 4 พลาสมิด pPT7-4
 5 พลาสมิด pPT7-3 ตัดด้วยเรสทริกชันเน恩ไซม์ BamHI
 6 พลาสมิด pPT7-3
 7 พลาสมิด pPT7-2 ตัดด้วยเรสทริกชันเน恩ไซม์ BamHI
 8 พลาสมิด pPT7-2
 9 λ HindIII (กືໂລເບລ)
 10 พลาสมิด pPT7-1 ตัดด้วยเรสทริกชันเน恩ไซม์ BamHI
 11 พลาสมิด pPT7-1

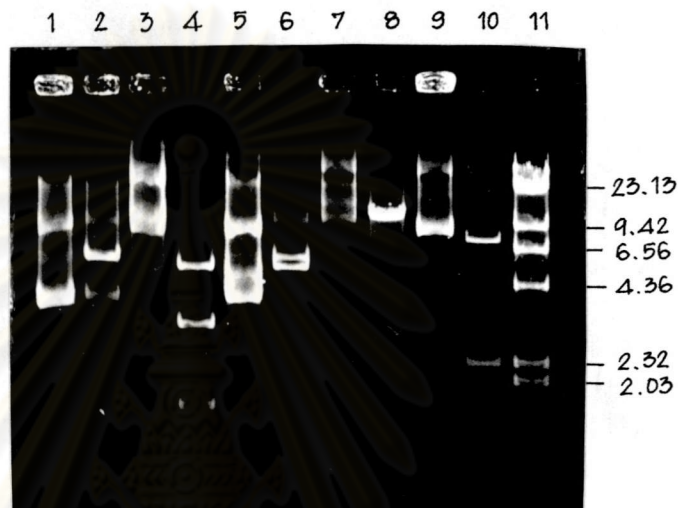
ตารางที่ 12 ขนาดของชิ้นล่วนดีเอ็นเอที่มีไซแลนเดย์น (inserted DNA) ที่ได้จาก การตัดรีคอมบินันท์พลาสติก pPT7-1 , pPT7-2 , pPT7-4 และ pPT7-5 ด้วย BamHI ยกเว้น pPT7-3 ตัดด้วย PstI

รีคอมบินันท์พลาสติก	ขนาดดีเอ็นเอ (กิโลเบส)	ขนาดชิ้นล่วนดีเอ็นเอที่มีไซแลนเดย์น (กิโลเบส)
pPT7-1	6.3	0.5
pPT7-2	10.2	4.4
pPT7-3	6.3	0.5
pPT7-4	12.2	6.4
pPT7-5	10.2	4.4

ศูนย์วิทยาพรพยากร
จุฬาลงกรณ์มหาวิทยาลัย



รูปที่ 21 ข. ภาพแสดงขนาดของชิ้นส่วนดีเอ็นเอที่มีไซแลนส์ (inserted DNA) ในรีคอมบินันท์พลาสมิด pPT7-1 , pPT7-2 , pPT7-4 , pPT7-5 เมื่อตัดด้วยเรสทريกชั่นเอนไซม์ BamHI ยกเว้น pPT7-5 ตัดด้วย PstI



- ช่องที่ 1 พลาสมิด pPT7-1
 2 พลาสมิด pPT7-1 ตัดด้วยเรสทريกชั่นเอนไซม์ BamHI
 3 พลาสมิด pPT7-2
 4 พลาสมิด pPT7-2 ตัดด้วยเรสทريกชั่นเอนไซม์ BamHI
 5 พลาสมิด pPT7-3
 6 พลาสมิด pPT7-3 ตัดด้วยเรสทريกชั่นเอนไซม์ PstI
 7 พลาสมิด pPT7-4
 8 พลาสมิด pPT7-4 ตัดด้วยเรสทريกชั่นเอนไซม์ BamHI
 9 พลาสมิด pPT7-5
 10 พลาสมิด pPT7-5 ตัดด้วยเรสทريกชั่นเอนไซม์ BamHI
 11 λ HindIII (กีโลเบล)

ซึ่งอาจเนื่องมาจากการที่โคลนได้มีบริเวณจำเพาะของ *PstI* อายุตัวอยู่ในตำแหน่งที่ค่อนข้างใกล้กับบริเวณจำเพาะของ *PstI* บนพลาสติกพำนัช จึงอาจปะรากภูมิล่วนที่ตัดไม่สมบูรณ์ (6.3 กิโลเบล) ปนอยู่ด้วย ขณะที่ชิ้นล่วนขนาด 5.75 กิโลเบล เป็นชิ้นล่วนที่ตัดอย่างสมบูรณ์ และอาจมีชิ้นล่วนขนาดเล็ก ซึ่งหลุดออกไปจากแผ่นอะการ์โสเจล ในระหว่างการทำอิเลคโทรโฟรีซิล

10. การผลิตของกลุ่มโคลิโโซเมอเรสในโคลนต่าง ๆ

ภายหลังจากการทราบผลการ รีคอมบินแนทฟลาสมิกที่มีไ援แลนเซอินเข้าไปใน *Streptomyces* sp. 190-1 แล้ว ได้นำสายพันธุ์เหล่านี้มาตรวจสอบแอนโคติวิติชีของกลุ่มโคลิโโซเมอเรส ผลการทดลองตามตารางที่ 13 พบว่าโคลนต่าง ๆ ยังคงมีแอนโคติวิติชีของกลุ่มโคลิโโซเมอเรส แต่เมื่อเทียบกับ *Streptomyces* sp. 190-1 พบว่าแอนโคติวิติชีจะลดลงจากเดิม 20-30% คืออยู่ในช่วง 800-1000 หน่วย/กรัมน้ำหนักเชลล์แห้ง ขณะที่ *Streptomyces* sp. 190-1 มีแอนโคติวิติชี 1256 หน่วย/กรัมน้ำหนักเชลล์แห้ง และ *Streptomyces* sp. 42-9 มีแอนโคติวิติชีเพียง 174 หน่วย/กรัมน้ำหนักเชลล์แห้ง

ศูนย์วิทยาทรัพยากร
จุฬาลงกรณ์มหาวิทยาลัย

ตารางที่ 13 เปรียบเทียบแอกติวิตี้ของกลูโคสไอโซเมอเรสที่ผลิตโดย *Streptomyces* sp. 190-1 ที่รับพลาสมิดซึ่งมีไซแลนส์กับ *Streptomyces* sp. 42-9 และ *Streptomyces* sp. 190-1 โดยเลี้ยงในอาหารเดียวกันและวัดมีไซโลสเป็นแหล่งคาร์บอน โดยเขย่าแบบ rotary ความเร็ว 200 รอบ/นาที ที่อุณหภูมิ 30° ช. เป็นเวลา 3 วัน

สายพันธุ์	กลูโคสไอโซเมอเรส (หน่วย/กรัมน้ำหนักเซลล์แห้ง)
<i>Streptomyces</i> sp. 190-1	1256
<i>Streptomyces</i> sp. 42-9	174
<i>Streptomyces</i> sp. 190-1/pPT6C	968
<i>Streptomyces</i> sp. 190-1/pPT6E	980
<i>Streptomyces</i> sp. 190-1/pPT6G	936
<i>Streptomyces</i> sp. 190-1/pPT7-1	1078
<i>Streptomyces</i> sp. 190-1/pPT7-2	983
<i>Streptomyces</i> sp. 190-1/pPT7-3	867
<i>Streptomyces</i> sp. 190-1/pPT7-4	821
<i>Streptomyces</i> sp. 190-1/pPT7-5	833